

**PENGARUH KETEBALAN  $\text{TiO}_2$  TERHADAP NILAI EFESIENSI  
DSSC (*DYE SENSITIZED SOLAR CELL*) DENGAN  
MENGUNAKAN PEWARNA DARI BAHAN SECANG  
(*CAESALPINIA SAPPAN LINN*)**



**Skripsi**

**Diajukan Untuk Memenuhi Salah Satu Syarat Meraih Gelar Sarjana Sains  
Jurusan Fisika pada Fakultas Sains dan Teknologi  
UIN Alauddin Makassar**

Oleh:

**ACHMAD NASYORI**

NIM: 60400115018

**FAKULTAS SAINS DAN TEKNOLOGI  
UIN ALAUDDIN MAKASSAR  
2019**

## PENGESAHAN SKRIPSI

Skripsi dengan judul “**Pengaruh Ketebalan TiO<sub>2</sub> Terhadap Nilai Efisiensi DSSC (Dye Sensitized Solar Cell) dengan Menggunakan Pewarna dari Bahan Secang (*Caesalpinia Sappan Linn*)**” yang disusun oleh **ACHMAD NASYORI (60400115018)**, Mahasiswa Jurusan Fisika pada Fakultas Sains dan Teknologi Universitas Islam Negeri Alauddin Makassar, telah diuji dan dipertahankan dalam *munaqasyah* diselenggarakan pada hari **22 Maret 2019**, dinyatakan dapat diterima diterima sebagai salah satu syarat untuk memperoleh gelar Sarjana dalam ilmu Sains dan Teknologi, Jurusan Fisika (dengan beberapa perbaikan).

Gowa, 22 Meret 2019 M  
15 Rajab 1440 H

### DEWAN PENGUJI

Ketua	: Prof. Dr. H. Arifuddin, M.Ag.	(.....)
Sekretaris	: Ihsan, S.Pd., M.Si.	(.....)
Munaqisy I	: Sahara, S.Si., M.Sc., Ph.D.	(.....)
Munaqisy II	: Dr. M. Tahir Maloko, M.Hi.	(.....)
Pembimbing I	: Iswadi, S.Pd., M.Si.	(.....)
Pembimbing II	: Muh. Said L, S.Si., M.Pd.	(.....)

Diketahui Oleh:  
Dekan Fakultas Sains dan Teknologi  
UIN Alauddin Makassar



**Prof. Dr. H. Arifuddin, M.Ag.**  
NIP. 19691205 1993031 001

## PERNYATAAN KEASLIAN SKRIPSI

Mahasiswa yang bertanda tangan dibawah ini:

Nama : Achmad Nasyori  
NIM : 60400115018  
Tempat/Tgl.Lahir : Jakarta 14 Febuari 1997  
Jurusan : Fisika  
Fakultas : Sains dan Teknologi  
Alamat : Perumahan Gria Asri Sakinah (Tamarunang)  
Judul : Pengaruh Ketebalan  $\text{TiO}_2$  Terhadap Nilai Efisiensi DSSC (*Dye Sensitized Solar Cell*) dengan Menggunakan Pewarna dari Bahan Secang (*Caesalpinia Sappan Linn*)

Menyatakan dengan sesungguhnya dan penuh kesadaran bahwa skripsi ini benar adalah hasil karya sendiri. Jika di kemudian hari terbukti bahwa ia merupakan duplikat, tiruan atau buatan orang lain, sebagian atau seluruhnya, maka skripsi dan gelar yang diperoleh karenanya batal demi hukum.

Samata-Gowa, Febuari 2019

Penyusun

Achmad Nasyori

NIM 60400115018

## KATA PENGANTAR

بِسْمِ اللَّهِ الرَّحْمَنِ الرَّحِيمِ

Alhamdulillah, segala puji bagi Allah swt yang telah menolong penulis dengan taufik-Nya sehingga bisa menyelesaikan Skripsi ini. Skripsi dengan judul **“Pengaruh Ketebalan TiO<sub>2</sub> Terhadap Nilai Efisiensi DSSC (*Dye Sensitized Solar Cell*) dengan Menggunakan Pewarna dari Bahan Secang (*Caesalpinia Sappan Linn*)”**. Shalawat dan salam kita mahon kepada Allah agar tercurah kepada Muhammad saw sebagai nabi dan rasul, yang telah membawa umat dari zaman jahilliyah menuju zaman berakhlak mulia. Umat memang butuh da'i yang paham ilmu syar'i, namun umat juga butuh dengan seorang *scientist* yang memiliki pemahaman islam ataupun seorang ulama yang paham dengan *Science*. Jalan yang penulis tempuh hingga hari ini, semoga mampu mewujudkan hal tersebut; professor fisika yang paham dengan islam.

Berbagai setagman masyarakat mengharuskan da'i semakin kreatif dalam menjalankan dakwahnya untuk mendekat kepada-Nya dengan wasilah fisika, insya Allah ini menjadi bagian dari dakwah. Penulis membuat ini sebagai salah satu ibadah kepada Allah dengan bersungguh-sungguh dalam menuntut ilmu, wujud bakti kepada orang tua dan niat untuk mendakwahkan pengetahuan tersebut kepada umat.

Penulis menyadari bahwa Skripsi ini, masih jauh dari kesempurnaan dari segi sistematika penulisan, maupun dari segi bahasa yang termuat di dalamnya.

Oleh karena itu, kritik dan saran yang bersifat membangun senantiasa Penulis harapkan guna terus menyempurnakannya. Penulis tidak akan bisa

menyelesaikan Skripsi tanpa pertolongan dari Allah swt melalui wasilah manusia-manusia hebat yang mendampingi penulis, baik secara langsung ataupun tidak. Maka yang pertama secara khusus penulis mengucapkan terimakasih kepada Mamah (**Nina Hartati**) yang tiada henti memberi semangat secara lahir dan batin dengan doa, motivasi, materil, cinta dan kasih sayang. Penulis sadar bahwa terimakasih saja tidak mungkin membalas segala jasa beliau, dengan karya ini dapat memberi kebahagiaan dalam hati beliau dan semoga menjadi amal jariyah yang dapat menyatukan kami di Surga-Nya, InsyaAllah. Kemudian yang kedua secara khusus penulis berterimakasih kepada Bapak (**Gunawan**) yang bersusah payah mencarikan biaya untuk anaknya sehingga bisa duduk dibangku kuliah. Semoga Allah membalas jerit payah bapak dengan surga-Nya.

Selain kepada kedua orang tua, Penulis juga menyampaikan banyak terima kasih kepada Ayahanda **Iswadi, S.Pd., M.Si** selaku pembimbing yang telah membimbing, memberikan ilmu, inspirasi, motivasi, kesabaran, semangat dan pengorbanan beliau terhadap penulis. Sungguh, penulis sangat senang dibimbing dengan beliau. Kemudian Kepada Ayahanda **Muh. Said L, S.Si., M.Pd** selaku pembimbing yang dengan penuh kesabaran telah meluangkan waktu, tenaga dan pikiran untuk membimbing dan mengajarkan kepada Penulis dalam setiap tahap penyelesaian penyusunan Skripsi ini sehingga dapat selesai dengan cepat dan tepat. Sehingga penulis dengan pembimbing memiliki kekuatan spiritual sehingga penulis merasa bimbingan yang diberikan bukan seperti mahasiswa dengan dosen melainkan bapak dengan anaknya.

Penulis menyadari bahwa Skripsi ini dapat terselesaikan berkat bantuan dari berbagai pihak dengan penuh keikhlasan dan ketulusan hati. Untuk itu, pada kesempatan ini, Penulis menyampaikan ucapan terima kasih kepada:

1. Bapak **Prof. Dr. Musafir Pabbabari, M.Si.**, selaku Rektor Universitas Islam Negeri (UIN) Alauddin Makassar periode 2015-2019 yang telah memberikan andil dalam melanjutkan pembangunan UIN Alauddin Makassar dan memberikan berbagai fasilitas guna kelancaran studi kami.
2. Bapak **Prof. Dr. H. Arifuddin, M.Ag.**, selaku Dekan Fakultas Sains Teknologi Universitas Islam Negeri (UIN) Alauddin Makassar periode 2015-2019 atas semua saran serta nasehat yang diberikan untuk perbaikan Skripsi ini dan juga Beserta jajarannya penulis ucapkan banyak terimakasih.
3. Ibu **Sahara, S.Si., M.Sc., Ph.D.**, selaku ketua Jurusan Fisika Fakultas Sains dan Teknologi serta sekaligus penguji I yang selama ini membantu penulis selama masa studi dan memberikan motivasi serta kritik dan masukan kepada penulis sehingga Penulis dapat menyelesaikan Skripsi, kemudian Ayahanda **Dr. M. Tahir Maloko, M.Hi.**, penguji II yang telah memberikan kritikan dan saran terhadap Skripsi penulis.
4. Bapak **Ihsan, S.Pd., M.Si.**, selaku sekretaris Jurusan Fisika Sains dan Teknologi dan sekaligus Penasihat Akademik yang telah banyak memberikan pelajaran baik akademik dan non akademik, motivasi, kritik dan saran kepada penulis sehingga penulis dapat menyelesaikan Skripsi ini.
5. Dosen Pengajar Jurusan Fisika ibu **Rahmaniah S.Si., M.Si., dan Hernawati, S.Pd., M.Pfis.**, yang telah meluangkan waktunya untuk berdiskusi mengenai

ilmu pengetahuan serta dosen Fisika yang lain yakni ibu **Ayusari Wahyuni, S.Si., M.Sc.**, ibu **Nurul Fuadi, S.Si., M.Pd.**, ibu **Kurniati Abidin S.Si., M.Si.**, ibu **Ria Reski Hamzah, S.Pd., M.Si.**, ibu **Zri Selviani S.Si., M.Sc.**, dan dosen lainnya yang telah mencurahkan tenaga, pikiran serta bimbingannya dalam memberikan berbagai ilmu pengetahuan di bangku kuliah serta kepada staf administrasi jurusan fisika ibu **Hadiningsi, S.E.**

6. Bapak **Muhtar S.T., M.T.**, bapak **Abdul Mun'im S.T., MT.**, kak **Ahmad Yani S.Si.**, kak **Nurhaisah, S.Si.**, sebagai laboran yang telah membantu di laboratorium Fisika Fakultas Sains dan Teknologi.
7. Para Laboran dari jurusan dan universitas lain yang membimbing dan membantu dalam menyelesaikan penelitian, kak **Nuraini, S.Si.**, selaku Laboran di Lab. Kimia Organik Fakultas Sains dan Teknologi, kak **Muqarammah, S.Si.**, selaku Laboran di Laboratorium UGM dan Pak **Sugen** Selaku Laboran di Lab. Kimia Terpadu FMIPA UNHAS.
8. Bapak dan Ibu Biro Akademik yang ada dalam lingkungan Fakultas Sains dan Teknologi yang selalu siap dan sabar melayani penulis dalam pengurusan berkas akademik.
9. Terkhusus kepada Tim DSSC **Israyanti, Ilmi, Ida, Erni, Yayan dan Putri Dayana Mursalim** yang telah memberikan bantuan, tenaga, pikiran dan semangat serta menjadi teman sekaligus rekan kerjasama yang baik selama penelitian sampai penyusunan Skripsi ini. Dan juga **"AHWAT RES15TOR"** yang telah membantu dan memberikan doa serta semangat kepada penulis.

10. Teman-teman “**RES15TOR**”, atas kebersamaannya selama 3 tahun lebih sehingga terciptanya persaudaraan yang kuat atas nama cinta dan kasih. Selain itu telah banyak membantu selama masa studi dan terlebih pada masa penyelesaian Skripsi ini. Senior Jurusan fisika angkatan 2011, 2012 2013 dan 2014. dan adinda-adinda angkatan 2016, 2017 dan 2018 serta keluarga besar Himpunan Jurusan Fisika (HMJ-F). Terkhusus kanda **Misbahudin Usman S.Si.**, yang telah memberikan file tafsir Al-Qur’an dan motivasi.
11. Teman-teman satu kontrakan **Daus, Iqbal, Indra, Firman, Irfan, Rempa, Wawan, Basman, Ghazali, Fajar, Mahendra, Huda, Dzaki, Ismail, dan Rafi** yang telah bersama sehingga terciptanya persaudaraan yang kuat atas nama cinta.

Terlalu banyak orang yang berjasa kepada Penulis selama menempuh pendidikan di UIN Alauddin Makassar sehingga tidak sempat dan tidak dapat Penulis cantumkan satu persatu. Penulis mengucapkan banyak terima kasih dan penghargaan yang setinggi-tingginya semoga bernilai ibadah, amal jariyah dan berkumpul di Surga-Nya “Amin Ya Rabbal Alamin”

Samata-Gowa, Febuari 2019  
Penyusun

ACHMAD NASYORI  
NIM: 60400115018

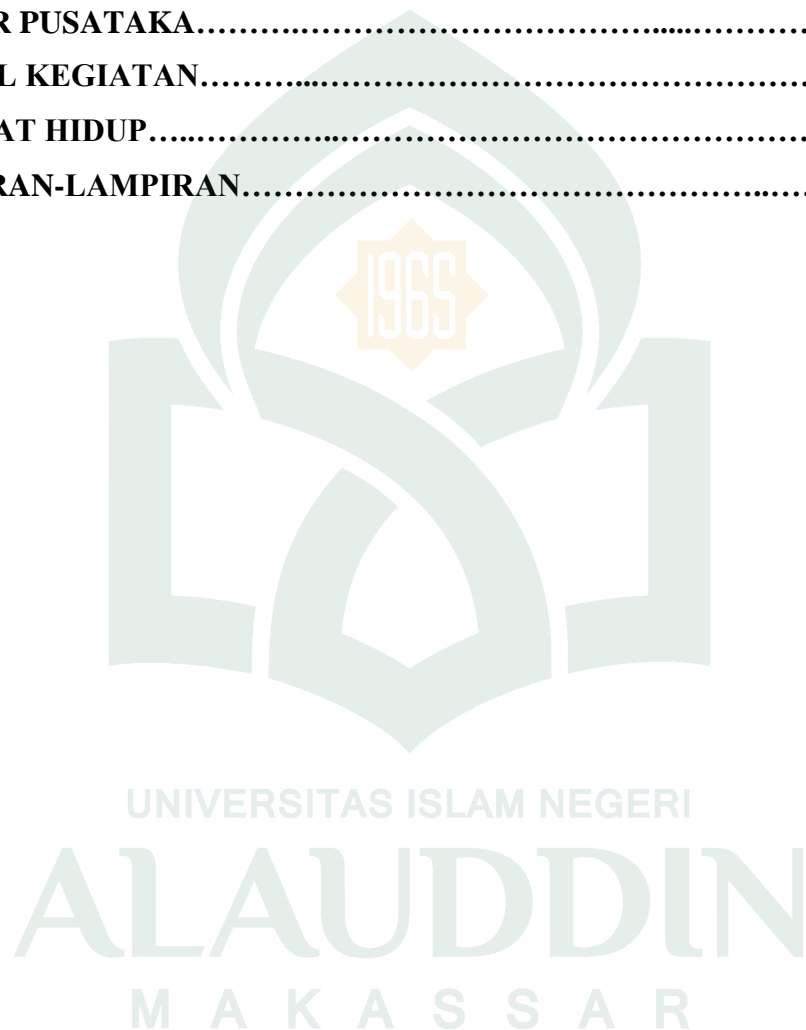


## DAFTAR ISI

Halaman

<b>SAMPUL DEPAN.....</b>	<b>i</b>
<b>LEMBAR PENGESAHAN.....</b>	<b>ii</b>
<b>PERNYATAAN KEASLIAN SKRIPSI .....</b>	<b>iii</b>
<b>KATA PENGANTAR.....</b>	<b>iv</b>
<b>DAFTAR ISI.....</b>	<b>ix</b>
<b>DAFTAR SIMBOL.....</b>	<b>xi</b>
<b>DAFTAR GAMBAR.....</b>	<b>xii</b>
<b>DAFTAR TABEL.....</b>	<b>xiv</b>
<b>DAFTAR GRAFIK.....</b>	<b>xiv</b>
<b>ABSTRAK .....</b>	<b>xv</b>
<b>BAB I PENDAHULUAN.....</b>	<b>1</b>
A. Latar Belakang.....	1
B. Rumusan Masalah.....	4
C. Tujuan Penelitian.....	4
D. Ruang Lingkup Penelitian .....	4
E. Manfaat Penelitian.....	5
<b>BAB II TINJAUAN TEORETIS .....</b>	<b>7</b>
A. Energi.....	7
B. Sel Surya.....	9
C. Dye Sensitized Solar Cell.....	10
D. Material DSSC.....	11
E. Integrasi Ayat .....	14
F. Pewarna DSSC .....	17
G. Secang ( <i>Caesalpinia sappan L.</i> ).....	19
H. Metode Pendeposisian DSSC .....	21
I. Nilai Efisiensi DSSC .....	22
J. Instrumen Uji.....	24
<b>BAB III METODE PENELITIAN .....</b>	<b>27</b>
A. Waktu dan Tempat Penelitian.....	27
B. Alat dan Bahan .....	27
C. Prosedur kerja .....	29
<b>BAB IV HASIL DAN PEMBAHASAN .....</b>	<b>36</b>
A. Nilai Absorbansi tertinggi terhadap variasi lama perendaman pada pengujian UV-Vis .....	36

B. Nilai Efisiensi tertinggi terhadap variasi $\text{TiO}_2$ pada pengujian nilai arus dan tegangan .....	44
C. Analisis SEM ( <i>Scanning Electron Microscopy</i> ) lapisan $\text{TiO}_2$ dan <i>dye</i> .....	51
<b>BAB V KESIMPULAN DAN SARAN .....</b>	<b>55</b>
A. Kesimpulan .....	56
B. Saran .....	56
<b>DAFTAR PUSATAKA.....</b>	<b>56</b>
<b>JADWAL KEGIATAN.....</b>	<b>61</b>
<b>RIWAYAT HIDUP.....</b>	<b>62</b>
<b>LAMPIRAN-LAMPIRAN.....</b>	<b>64</b>



## DAFTAR SIMBOL

Simbol	Satuan	
I	: Kuat arus	mA
V	: Kuat tegangan	V
A	: Luas permukaan	cm <sup>2</sup>
Jsc	: Kerapatan tertinggi arus	mA/cm <sup>2</sup>
Jmaks	: Kuat arus maksimum	mA/cm <sup>2</sup>
Voc	: Kuat tegangan tertinggi	V
Vmaks	: Kuat tegangan maksimum	V
Pmax	: Daya Maksimum	Watt
Pin	: Daya yang bersumber dari matahari	mW/cm <sup>2</sup>
Pout	: Daya yang di hasilkan sell	mW/cm <sup>2</sup>
$\lambda$	: Panjang gelombang	nm
$\eta$	: Efisiensi	%
FF	: <i>Fill Faktor</i>	
Abs	: Absorbansi	

## DAFTAR GAMBAR

No. Gambar	Judul Gambar	Halaman
2.1:	Perkembangan <i>Photovoltaic</i> (Silikon, Lapisan Tipis dan DSSC)	9
2.2:	Cara kerja DSSC ( <i>Dye Sensitized Solar Cell</i> )	10
2.3:	Struktur DSSC	11
2.4:	Struktur Kimia Antosianin	18
2.5:	Struktur Kimia Klorofil	18
2.6:	Struktur Kimia Karotenoid	19
2.7:	Bahan Secang ( <i>Caesalpinia Sappan L</i> )	19
2.8:	Struktur Kimia Brazilin	20
2.9:	Langkah-langkah Metode <i>Spin Coating</i>	22
2.10:	Kurva Efisiensi	22
3.1:	Hasil Ekstraksi Bahan Secang	31
3.2:	Doping $\text{TiO}_2$ ke Kaca ITO	32
3.3:	Elektroda Pembanding	33
3.4:	Lapisan DSSC	33
3.5:	Rangkaian DSSC	34
4.1:	Susunan DSSC ( <i>Dye Sensitized Solar Cell</i> )	46
4.2:	a perbesaran 100 $\mu\text{m}$ dan b perbesaran 10 $\mu\text{m}$ Hasil Uji SEM	52
4.3:	c perbesaran 5 $\mu\text{m}$ dan b perbesaran 1 $\mu\text{m}$ Hasil Uji SEM	53

## DAFTAR TABEL

No. Tabel	Judul Tabel	Halaman
2.1:	Sifat Kimia dan Fisik Senyawa Brazili	20
2.2:	Spektrum Warna	25
3.1:	Pengamatan Uji Spektrofotometer UV-Vis	31
3.2:	Uji Arus dan Tegangan	34
4.1:	Perendaman sampel secang 20 menit.	39
4.2:	Perendaman sampel secang 24 jam.	40
4.3:	Perendaman sampel secang 48 jam.	42
4.4:	Nilai Efisiensi pada pada variasai ketebalan TiO <sub>2</sub>	50

## DAFTAR GRAFIK

No. Grafik	Judul Grafik	Halaman
4.1:	Hasil Uji UV-Vis sampel secang perendaman 20 menit.	38
4.2:	Hasil Uji UV-Vis sampel secang perendaman 24 jam.	40
4.3:	Hasil Uji UV-Vis sampel secang perendaman 48 jam.	42
4.4:	Gabungan hasil uji UV-Vis.	43
4.5:	Kurva arus dan tegangan dengan ketebalan TiO <sub>2</sub> 0.11 mm.	47
4.6:	Kurva arus dan tegangan dengan ketebalan TiO <sub>2</sub> 0.15 mm.	48
4.7:	Kurva arus dan tegangan dengan ketebalan TiO <sub>2</sub> 0.2 mm.	49
4.8:	Nilai Efisiensi pada pada variasai ketebalan TiO <sub>2</sub>	51

## ABSTRAK

**Nama** : ACHMAD NASYORI  
**NIM** : 60400115018  
**Judul Skripsi** : Pengaruh Ketebalan TiO<sub>2</sub> Terhadap Nilai Efisiensi DSSC (*Dye Sensitized Solar Cell*) dengan Menggunakan Pewarna dari Bahan Secang (*Caesalpinia Sappan Linn*).

---

Fokus penelitian ini berkaitan dengan kajian *Dye Sensitized Solar Cell* (DSSC) yang bertujuan untuk mengetahui seberapa besar nilai absorbansi tertinggi dengan memvariasikan lama perendaman bahan secang serta untuk mengetahui seberapa besar pengaruh ketebalan TiO<sub>2</sub> terhadap nilai efisiensi DSSC dengan menggunakan pewarna dari bahan secang (*Caesalpinia Sappan Linn*). Penelitian ini menggunakan ketebalan yaitu 0.11 mm, 0.15 mm dan 0.2 mm. *Doctor Blade* merupakan metode yang digunakan dalam doping TiO<sub>2</sub>, dengan luas permukaan 2.25 cm<sup>2</sup>. Selain itu penelitian ini menggunakan prinsip kerja maserasi, evaporasi, pengujian (UV-Vis dan SEM) dan pengukuran arus & tegangan. Hasil uji UV-Vis menunjukkan nilai absorbansi sebesar 2.81 dan panjang gelombang 444.5 nm pada sampel secang dengan lama maserasi 24 jam. Pengukuran arus dan tegangan menunjukkan nilai efisiensi yaitu: 0.003979% pada ketebalan 0.11 mm, 0.017446% pada ketebalan 0.15mm dan 0.001502% dengan ketebalan 0.2 mm. Sehingga efisiensi tertinggi berada pada ketebalan 0.15 dengan nilai efisiensi 0.017446%. Uji SEM (*Scanning Electron Mikroskopy*) merupakan pengujian yang digunakan untuk menggambarkan bentuk morfologi, bentuk *particle* TiO<sub>2</sub> dan kuantitas *dye* yang melekat.

**Keyword:** DSSC, ketebalan, *Caesalpinia Sappan Linn*, efesiesni.

## ABSTRACT

**Name** : ACHMAD NASYORI  
**NIM** : 60400115018  
**Thesis Title** : **The Effect of TiO<sub>2</sub> Thickness on the Efficiency Value of DSSC (Dye Sensitized Solar Cell) Using Dye from Caesalpinia Sappan Linn.**

---

The focus of this research is concerned with the study of Dye Sensitized Solar Cell (DSSC) which aims to find out how big the highest absorbance values with aims to find out how big the highest absorbance values with the variation of long soaking Caesalpinia Sappan Linn materials and to find out how big the influence of thickness of the DSSC efficiency of TiO<sub>2</sub> by using a dye made from Caesalpinia Sappan Linn. This research uses the thickness that of 0.11 mm, 0.15 mm and 0.2 mm. The *Doctor Blade* is a method used in TiO<sub>2</sub> doping, with a surface 2.25 cm<sup>2</sup>. In addition, this research uses the principles of maceration, evaporating, testing (UV-Vis and SEM) and current measurements voltage & ampere. The results of the UV-Vis test showed an absorbance value of 2.81 and a wavelength of 444.5 nm in the Caesalpinia Sappan Linn sample with 24-hour maceration time. Measurement of current and voltage shows the efficiency value, namely: 0.003979% at a thickness of 0.11 mm, 0.017446% at a thickness of 0.15 mm and 0.001502% with a thickness of 0.2 mm. So that the highest efficiency is at a thickness of 0.15 with an efficiency value of 0.017446%. SEM (Scanning Electron Microscopy) test is a test that is used to describe the morphology, TiO<sub>2</sub> particle shape and the quantity of dye attached.

**Keyword:** DSSC, thickness, caesalpinia sappan linn, efficiency

UNIVERSITAS ISLAM NEGERI  
ALAUDDIN  
M A K A S S A R



# BAB I

## PENDAHULUAN

### A. Latar Belakang

Energi listrik merupakan permasalahan yang belum terselesaikan. Hal ini, disebabkan karena peningkatan konsumsi energi pada bidang ekonomi dan industri yang terus meningkat. Sedangkan sumber energi yang dimiliki masih bersumber dari fosil, yang mana sumber fosil memerlukan jangka waktu yang panjang untuk dapat diperbaharui, artinya jika penggunaan energi terus meningkat dan tidak didukung oleh ketersediaan sumber energi yang cukup maka akan dikhawatirkan akan berdampak pada krisis energi. Selain itu dampak dari penggunaan sumber fosil ialah mencemari lingkungan. Berdasarkan *Land Use Land Use Change and Forsetry* (LULUCG) bahwa Indonesia merupakan penyumbang emisi *carbon* terbesar sebesar 50%. Ini tidak terlepas dari sektor energi menyumbang sebesar 30% emisi karbon (Jaelani, 2017). Menurut Yudha (2017) permasalahan polusi pada sektor energi dapat diselesaikan dengan pengembangan energi baru dan terbarukan (*renewable*).

Energi baru dan terbarukan (*renewable*) menjadi topik yang menarik untuk dikembangkan karena memiliki banyak keunggulan seperti memiliki waktu yang singkat untuk dapat diperbaharui, ketersediaan melimpah dan ramah lingkungan. Contoh dari sumber energi baru dan terbarukan (*renewable*) ialah biomassa, angin, microhidro, geotermal dan cahaya matahari. Saat ini pengembangan energi baru dan

terbaharukan (*renewable*) yang terus ditingkatkan pada sumber angin dan matahari. Penelitian ini berfokus pada sumber energi matahari. Matahari merupakan sumber energi panas terbesar saat ini, besarnya energi yang dipancarkan matahari  $3 \times 10^{24}$  joule pertahun, energi ini setara dengan  $2 \times 10^{17}$  W (Yulianto, 2006). Peran matahari dalam kehidupan sangat signifikan salah satunya dapat dijadikan sebagai sel surya (*Photovoltaics*). Sel surya (*Photovoltaics*) merupakan suatu cara untuk dapat mengubah cahaya menjadi energi listrik.

Saat ini pengembangan sel surya (*Photovoltaics*) sudah berada pada priode ke tiga yang dikenal dengan *Dye Sensitized Solar Cell* (DSSC). DSSC merupakan suatu cara untuk mengkonversikan energi matahari menjadi energi listrik dengan bantuan pewarna yang dapat meningkatkan sensitifitas pada sel surya. Keunggulan dari DSSC ialah mudah dikerjakan, murah dan ramah lingkungan (O'Regan *and* Grätzel 1991; Smestad *and* Gratzel 1998; Grätzel 2003). Teknologi DSSC tersusun dari tiga komponen penting yaitu elektroda kerja, elektroda pembanding dan larutan elektrolit. Akan tetapi nilai efisiensi pada DSSC masih rendah, sehingga teknologi DSSC masih terus dikembangkan untuk mendapatkan nilai efisiensi yang lebih tinggi.

Banyak hal yang dapat mempengaruhi nilai efisiensi DSSC seperti zat pewarna yang digunakan, zat pewarna berfungsi sebagai meningkatkan sensitifitas pada sel surya seperti yang dilakukan oleh peneliti dengan menggunakan ekstraksi bunga sepatu (Henni dkk., 2012), dengan ekstrak buah manggis (R. Purwanto dan Gontjang Prajitno, 2013), dengan kulit buah manggis, daging buah tarung belanda dan kelopak bunga rosella (Dahlan dan Fahyuan, 2014), dengan menggunakan

pewarna dari daun mengukudu, bahan secang, beras hitam dan safflower (Magaraphan dan Joothamongkhon, 2013) dan dengan bahan secang (Landuma, Haryanto dan Purwanto, 2015). Penelitian ini menggunakan pewarna yang berasal batang secang (*Caesalpinia Sappan Linn*) yang mana merupakan tumbuhan khas dari Sulawesi selatan yang tumbuh didaerah tertentu. Selama ini pemanfaatan batang secang dapat dijadikan sebagai obat, dikarenakan batang secang memiliki kandungan brazilin (*antioksidan*). Brazilin merupakan pigmen warna yang termasuk dalam golongan karatenoid. Karatenoid merupakan suatu zat pewarna yang dapat digunakan dalam pewarna dalam DSSC, serta karatenoid merupakan zat yang dapat membentuk warna kuning, merah dan jingga.

Kemudian hal lain yang mempengaruhi nilai efisiensi ialah suhu saat pembakaran (*sintering*), yang mana suhu pembakaran berperan penting dalam pelektaan TiO<sub>2</sub> terhadap substrat (kaca) dan penyerapan pewarna terhadap TiO<sub>2</sub>. Seperti yang dilakukan peneliti dengan menggunakan suhu pembakaran 300 °C dan 400 °C (Zamrani dan Prajitno, 2013), dengan menggunakan suhu pembakaran 500 °C, 550 °C dan 600 °C (Akbar dan Susanti, 2013). Selanjutnya ketebalan TiO<sub>2</sub> yang memiliki pengaruh dalam nilai efisiensi DSSC. TiO<sub>2</sub> merupakan bahan semikonduktor yang memiliki peran dalam pembentukan *hole* yang digunakan sebagai penyimpan elektron sementara untuk dapat dialirkan. Sehingga ketebalan TiO<sub>2</sub> sangat mempengaruhi nilai efisiensi DSSC, seperti yang lakukan Ruhane (2017) dengan ketebalan TiO<sub>2</sub> 12 – 17 µm, ketebalan TiO<sub>2</sub> 5.57 µm; 8.64 µm; 12.73

$\mu\text{m}$ ; 15.38  $\mu\text{m}$  dan 20.65  $\mu\text{m}$  (Kumari, Sanjeevadharsini dan Dissanayake, 2016) dan 10.3  $\mu\text{m}$ ; 13.1  $\mu\text{m}$ ; 15.2  $\mu\text{m}$  dan 21.1  $\mu\text{m}$  (Sedghi dan Miankushki, 2015).

Berdasarkan uraian diatas, maka akan dilakukan penelitian yang berjudul **“Pengaruh Ketebalan  $\text{TiO}_2$  Terhadap Nilai Efisiensi DSSC (*Dye Sensitized Solar Cell*) dengan Menggunakan Pewarna dari Bahan Secang (*Caesalpinia Sappan Linn*)”**.

### **B. Rumusan Masalah**

Rumusan masalah yang akan dikaji pada penelitian ini adalah sebagai berikut:

1. Bagaimana pengaruh lama perendaman bahan secang terhadap nilai absorbansi ?
2. Bagaimana pengaruh ketebalan kaca  $\text{TiO}_2$  terhadap nilai efisiensi *dye sensitized solar cell* (DSSC) dengan pewarna dari bahan secang ?

### **C. Tujuan Penelitian**

Tujuan yang akan dicapai pada penelitian ini adalah sebagai berikut:

1. Untuk menganalisis pengaruh lama perendaman bahan secang terhadap nilai absorbansi
2. Untuk menganalisis pengaruh ketebalan kaca  $\text{TiO}_2$  terhadap nilai efisiensi *dye sensitized solar cell* (DSSC) dengan pewarna dari bahan secang

### **D. Ruang Lingkup Penelitian**

Ruang lingkup pada penelitian ini sebagai berikut:

1. Pewarna alami yang digunakan sebagai *dye* adalah bahan Secang segar

(*Caesalpinia Sappan Linn*) yang berasal dari Kabupaten Maros.

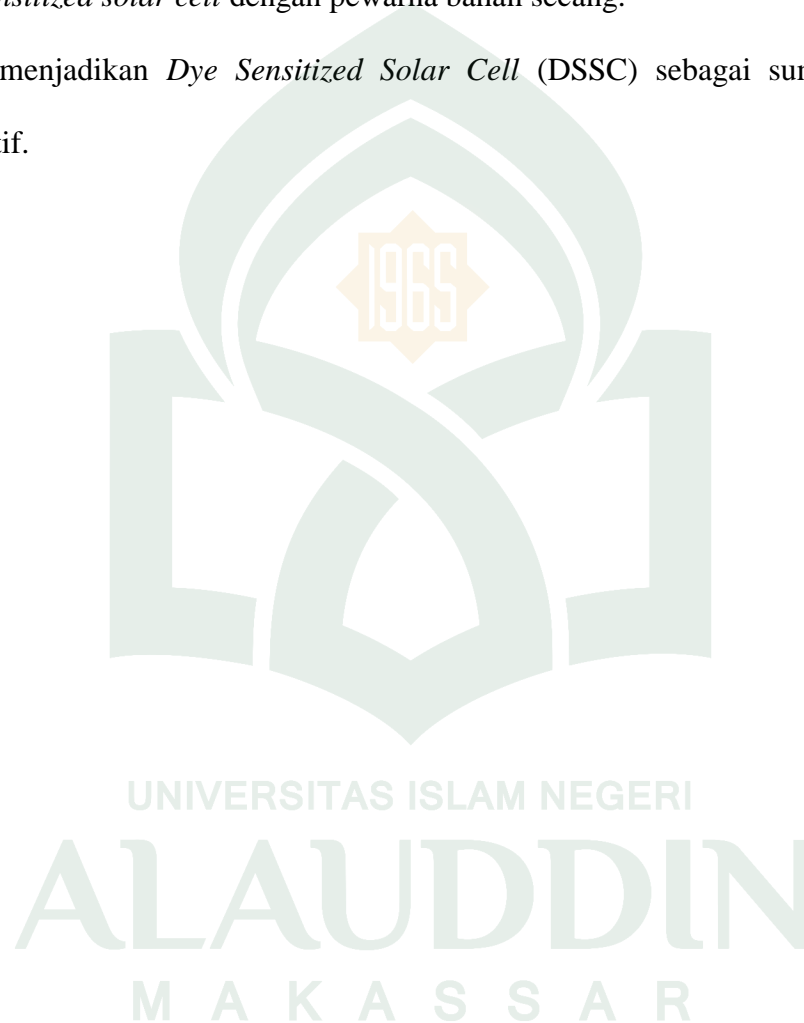
2. Jenis substrat yang digunakan yaitu ITO (*Indium Tin Oxide*) dengan ukuran  $20 \mu\text{m} \times 20 \mu\text{m} \times 0,7 \mu\text{m}$  dengan resistansi 7-9 ohm.
3. Material semikonduktor yang digunakan yaitu *Titanium Dioxide* ( $\text{TiO}_2$ ).
4. Pelarut yang digunakan saat mengekstrak yaitu etanol 96%.
5. Durasi waktu yang digunakan dalam maserasi 1 jam, 24 jam dan 48 jam.
6. Jenis *carbon* yang digunakan berasal dari pembakaran kaca ITO menggunakan lilin.
7. Elektrolit yang digunakan yaitu KI (*kalium iodida*) dan  $\text{I}_2$  (*iodida*) dengan perbandingan 10:1.
8. Metode pendeposisian yang digunakan yaitu metode konvensional (*Doctor Blade*)
9. Ketebalan yang digunakan yakni  $100 \mu\text{m}$ ,  $155 \mu\text{m}$  dan  $200 \mu\text{m}$ .
10. Parameter yang diukur ialah arus dan tegangan.

#### **E. Manfaat Penelitian**

Dengan diadakan penelitian ini, diharapkan akan dapat memberikan manfaat sebagai berikut:

1. Memberikan informasi tentang cara pembuatan *Dye Sensitized Solar Cell* (DSSC).

2. Memberikan informasi tentang aplikasi bahan secang yang dapat digunakan sebagai *Dye* dalam teknologi *Dye Sensitized Solar Cell* (DSSC).
3. Memberikan informasi tentang pengaruh ketebalan  $Ti_2O$  terhadap nilai efisiensi *Dye Sensitized solar cell* dengan pewarna bahan secang.
4. Dapat menjadikan *Dye Sensitized Solar Cell* (DSSC) sebagai sumber energi alternatif.



## **BAB II**

### **TINJAUAN TEORETIS**

#### **A. Energi**

Energi dapat didefinisikan sebagai gaya, usaha dan daya. Dalam dunia instrumentasi energi dapat disebut daya listrik yang mengalir pada suatu rangkaian. Energi menjadi hal yang sangat penting bagi manusia, karena peran energi menunjang seluruh aspek kehidupan. Akan tetapi jika meninjau kembali sumber energi yang digunakan, ternyata masih bergantung pada sumber fosil. Sumber fosil memiliki kekurangan salah satunya membutuhkan rentang waktu yang lama untuk dapat diperbaharui. Artinya jika digunakan secara terus meningkat akan dikhawatirkan terjadi krisis energi. Seorang peneliti memprediksikan 50 tahun mendatang energi menjadi permasalahan utama. Sehingga ilmuan dari berbagai negara mencari solusi dengan mengembangkan energi alternatif atau *renewable* energi yang memiliki banyak keunggulan yaitu memiliki rentang waktu yang singkat untuk diperbaharui, ketersediaan melimpah dan ramah lingkungan. Salah satu energi *alternative* yang sedang dikembangkan yaitu energi yang bersumber dari angin dan cahaya matahari (Hardeli, dkk., 2013: 155).

Menurut Mujiyanto, matahari memiliki peran yang signifikan dalam kehidupan manusia, yaitu menyuplai energi berupa cahaya, yang mana matahari menjadi sumber energi terbesar saat ini (Mujiyanto, 2000: 48). Besar energi yang

dipancarkan matahari sekitar  $1000 \text{ W/m}^2$ , sebanyak 47% cahaya akan dikonversikan menjadi kalor, 23% digunakan sebagai energi diatas permukaan bumi dan 30% akan terpantul (Manan Saiful, 2013). Kemudian data dari Yulianto (2006), menunjukkan bahwa bumi menerima 69% energi yang dipancarkan matahari sebesar  $3 \times 10^{24}$  joule pertahun, energi ini setara dengan  $2 \times 10^{17}$  W. Cahaya matahari dapat dijadikan sebagai fotovoltaik surya. Karena keunggulan dari energi surya yaitu harga terjangkau, ketersediaan melimpah dan ramah lingkungan. Sehingga apabila pemanfaatan semakin ditingkatkan akan membantu mengurangi energi yang bersumber dari fosil (International Energi Agency, 2011).

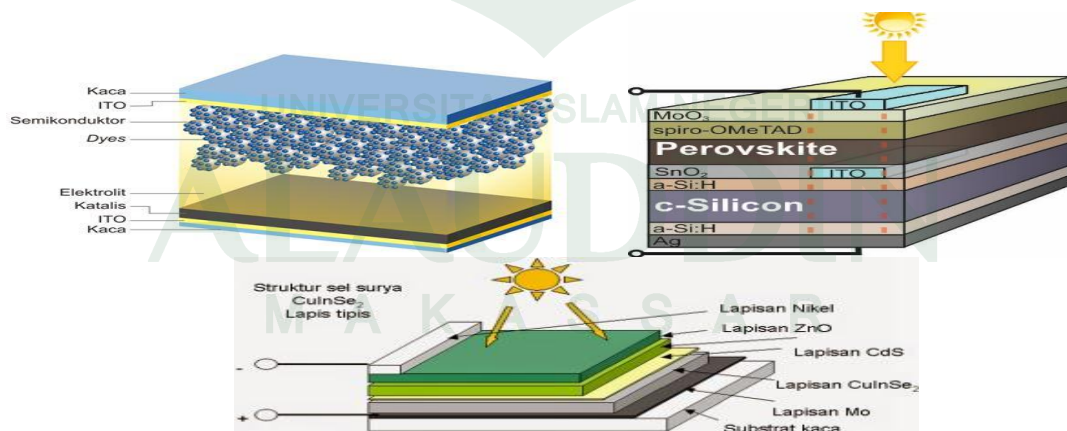
Indonesia merupakan negara yang beriklim tropis sehingga memiliki potensi untuk dikembangkan energi listrik yang bersumber dari matahari. Berdasarkan 18 titik lokasi di Indonesia tentang penyinaran matahari untuk kawasan barat sebesar  $4,5 \text{ kWh/m}^2/\text{hari}$  dengan variansi bulanan 10% sedangkan kawasan timur  $5,1 \text{ kWh/m}^2/\text{hari}$  dengan variansi bulanan 9 % (Kementrian Energi dan Sumber Daya Mineral, 2008). Kemudian berdasarkan letak geografis Indonesia terletak diantara  $6^\circ \text{ LU} - 11^\circ \text{ LS}$  dan  $95^\circ \text{ BT} - 141^\circ \text{ BT}$  mengakibatkan frekuensi sinar matahari yang diterima lebih besar dari negara lain (Manan. S, 2009). Sehingga Indonesia sangat berpotensi untuk dikembangkan sumber energi yang berasal dari matahari yang disebut sel surya (Zid Latifataz dan Gontjang Prajitno, 2015).



## B. Sel Surya

Sel surya atau disebut *photovoltaic* yaitu suatu cara yang digunakan untuk mengkonversi energi matahari menjadi energi listrik (Quaschnig, 2005). Awal Perkembangan *photovoltaic* dikembangkan oleh Bacquerel tahun 1839, yang mana menduga terdapat tegangan foton ketika cahaya matahari menumbuk *electrode* dalam larutan elektrolit. Sehingga perkembangan teknologi *photovoltaic* sangat pesat karena memiliki keunggulan yaitu *clean* energi, terjangkau dan ramah lingkungan (Hadioper, dkk., 2008).

Hingga Saat ini perkembangan sel surya dapat di kelompokkan dalam tiga priode. Priode pertama menggunakan bahan dasar silicon kristal tunggal dan silicon banyak kristal, priode kedua menggunakan bahan yang dasar lapisan tipis (*thin film solar cell*) dan priode yang ketiga menggunakan bahan pewarna *organic* sebagai sensitifitas sel surya yang sering dikenal dengan DSSC (*Dye Sensitized Solar Cell*).



Gambar 2.1: 1(DSSC), 2 (silikon) dan 3(lapisan tipis)

Sumber: <https://energisurya.wordpress.com/penelitian/>;

<http://atterratotus.blogspot.com/2011/02/dye-sensitized-solar-cell-dssc.html>;

<https://cleantechnica.com/2015/11/12/tandem-perovskite-silicon-solar-cell-efficiency-record-broken/>

### C. *Dye Sensitized Solar Cell*

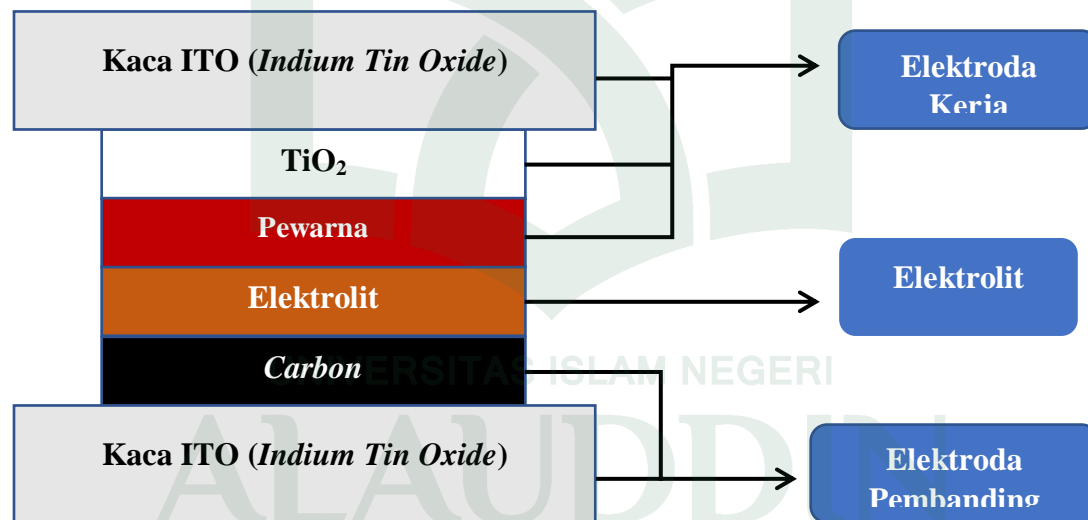
DSSC pertama kali dikembangkan oleh Michael Grätzel dan Brian O'Regan pada tahun 1991 dari *Institute of Technology in Lausanne*, Switzerland. DSSC merupakan suatu cara untuk mengubah energi matahari menjadi energi listrik dengan bantuan pewarna yang dapat meningkatkan sensitifitas pada sel surya. Pengembangan terus ditingkatkan karena DSSC memiliki keunggulan ialah tidak membutuhkan material dengan kemurnian tinggi, murah dan ramah lingkungan (O'Regan and Grätzel, 1991; Smestad and Grätzel, 1998; Grätzel, 2003). Jika dibandingkan dengan teknologi sel surya yang lain yang mana tidak ramah lingkungan, membutuhkan material silikon dengan kemurnian yang sangat tinggi dan harga yang mahal (Hardeli, 2013).

Cara kerja dari teknologi DSSC mudah yakni dengan menggunakan bahan semikonduktor dan pewarna sebagai penyerap energi dari matahari untuk diubah menuju eksiton (pasangan *hole* dan *electron* yang terkunci oleh gaya elektrostatis). Selanjutnya eksiton akan menuju semikonduktor untuk terurai antara *hole* dengan *electron*. Dan kemudian *electron* akan bergerak menuju sel melalui kabel penghubung (beban) sehingga terbentuk kestabilan.



Gambar 2.2: Cara kerja DSSC  
Sumber: [thesolarsparks.co.uk](http://thesolarsparks.co.uk)

Teknologi DSSC memiliki tiga komponen penting yaitu elektroda kerja, elektroda lawan dan larutan elektrolit. Elektroda kerja yaitu tersusun dari kaca konduktif transparan seperti *Transparent Conductive Oxide* (TCO), *Flourine Doped Tin Oxide* (FTO) dan *Indium Tin Oxide* (ITO). Serta dilapisi dengan bahan semikonduktor nano kristalin seperti  $\text{TiO}_2$  atau  $\text{ZnO}_2$  dan larutan *dye* alami atau sintesis. Elektroda lawan tersusun dari kaca konduktif transparan seperti TCO, *Flourine Doped Tin Oxide* FTO dan *Indium Tin Oxide* (ITO) dan dilapisi *carbon* atau platinum. Elektrolit berasal dari *iodium*  $\text{I}_2$  dengan pasangan KI sehingga akan membentuk *triiodida*  $\text{I}_3^-$ .



Gambar 2.3: Struktur DSSC

#### D. Material DSSC

##### 1. Substrat

Substrat yang digunakan pada teknologi DSSC berupa kaca film tipis transparan yang memiliki sifat konduktif. Kaca ini memiliki fungsi yang sangat penting yaitu sebagai tempat sumber muatan. Kaca yang sering diaplikasikan dalam

DSSC yaitu *flourine-doped tin oxide* (TCO) dan *Indium Thin Oxide* (ITO) (Maya, dkk., 2012), keunggulan dari kaca ITO dan TCO ialah dapat bertahan pada suhu 500 °C sehingga kedua substrat cocok untuk diaplikasikan dalam DSSC (Khoiruddin, 2012: 12).

## 2. Elektroda kerja

Pada Elektroda kerja tersusun dari kaca konduktif tranparan dan bahan semikonduktor. Bahan semikonduktor yang biasa digunakan yaitu  $ZnO_2$  dan  $TiO_2$  karena kedua bahan tersebut mampu menyerap cahaya yang datang dari matahari sehingga sangat baik diaplikasikan pada DSSC. Namun kedua bahan tersebut terdapat perbedaan pada *band gap*. Energi *band gap* pada  $ZnO_2$  sebesar 3,37 eV bahan ini digunakan oleh Akbar (2013) dari ITS. Sedangkan *band gap* pada  $TiO_2$  sebesar 3,2 eV bahan ini yang digunakan oleh (Buraidah *et al.*, 2011). Sehingga berdasarkan nilai *band gap* yang dimiliki dari kedua bahan semikonduktor tersebut dapat digunakan dalam DSSC.

$TiO_2$  merupakan bahan semikonduktor yang paling banyak digunakan dalam aplikasi DSSC dibandingkan  $ZnO_2$  karena memiliki limbah yang berbahaya bagi lingkungan. Keunggulan yang dimiliki  $TiO_2$  berupa sifat optik yang baik dan dapat menyerap zat pewarna lebih besar. Untuk mendapatkan  $TiO_2$  yang berkualitas harus memenuhi beberapa kriteria, yaitu partikel berada pada ukuran nanometer (nm) karena dapat meningkatkan luas permukaan lebih besar sehingga akan menyerap pewaran lebih besar dan juga  $TiO_2$  harus memiliki lubang-lubang kecil (pori) agar zat pewarna dapat masuk pada lubang-lubang kecil (pori).

### 3. Counter Elektroda

Elektroda pembanding tersusun dari substrat yang dilapisi oleh *carbon*. Sehingga komponen ini sangat penting dalam teknologi DSSC karena memiliki peran sebagai katalis untuk mempercepat *system triiodide* pada substrat selain itu *counter elektroda carbon* memiliki peran sebagai lapisan katalis (Kay, A. dan Gratzel, M, 1996). *Carbon* yang biasa digunakan dalam elektroda pembanding yaitu *carbon pensil* dan tinta hitam (Henni, dkk., 2012).

### 4. Elektrolit

Elektrolit merupakan komponen penting didalam teknologi DSSC karena menentukan karakteristik dan daya tahan DSSC. Fungsi dari elektrolit sebagai pengganti *electron* yang hilang pada pita HOMO (*Highest Occupied Molecular Orbital*) yang dipicu zat pewarna (*dye*) yang menyerap cahaya tampak sehingga merangsang *electron* untuk keluar dari pita HOMO menuju pita LUMO (*Lowest Unoccupied Molekuler Orbital*) (Khoiruddin, 2012).

Elektrolit yang sering diaplikasi dalam teknologi DSSC ialah elektrolit yang bersifat cairan dengan komposisi elektrolit *Iodida*  $I_2$  dengan pasangan KI sehingga akan membentuk *triiodida*  $I_3$  karena memiliki kestabilan yang baik dan reversibilitas yang tinggi (Wong, dkk., 2007:5). Namun terdapat juga elektrolit yang bersifat padat yang disebut dengan gel pol PEG (*polyethylene glycol*) dengan komposisi kopel redoks ( $I/I^3-$ ). Akan tetapi jika dibandingkan nilai efisiensi elektrolit yang bersifat padat lebih kecil dari pada elektrolit yang bersifat cair (Maddu, dkk, 2007: 80). Hasil

penelitian Gratzel (2003) menunjukkan nilai efisiensi dengan menggunakan elektrolit cair mencapai 11%.

### E. Integrasi Ayat

Hikmah diturunkan Al-Quran ialah sebagai petunjuk bagi seluruh makhluk, selain itu al-quran juga berisi tentang perumpamaan-perumpamaan. Salah satu perumpamaan tentang energi sebagai mana firman Allah dalam Q.S Yunus/10: 5 sebagai berikut:

هُوَ الَّذِي جَعَلَ الشَّمْسَ ضِيَاءً وَالْقَمَرَ نُورًا وَقَدَرَهُ مَنَازِلَ لِتَعْلَمُوا عَدَدَ السِّنِينَ وَالْحِسَابَ  
مَا خَلَقَ اللَّهُ ذَلِكَ إِلَّا بِالْحَقِّ يُفَصِّلُ الْآيَاتِ لِقَوْمٍ يَعْلَمُونَ ٥

Terjemahnya:

Dialah yang menjadikan matahari bersinar dan bulan bercahaya dan ditetapkan-Nya mazilah-mazilah (tempat-tempat) bagi perjalanan bulan itu, supaya kamu mengetahui bilangan tahun dan perhitungan (waktu). Allah tidak menciptakan yang demikian itu melainkan hak. Dia menjelaskan tanda-tanda (kebesaran-Nya) kepada orang-orang yang mengetahui. (Kementrian Agama RI, 2013: 208).

Menurut Quraish Shihab dalam Tafsir Al-Misbah, Allah Swt memberi kabar tentang ciptaan-Nya berupa tanda-tanda yang menunjukkan atas kekuasaan-Nya dan keagungan kerajaan-Nya. Sesungguhnya Allah menjadikan cahaya yang memancar dari matahari sebagai sinar dan menjadikan cahaya bulan sebagai penerang. Keduanya berbeda dan tidak serupa. Dan Allah menjadikan kekuasaan matahari pada siang hari dan kekuasaan bulan pada malam hari. Allah menentukan bulan pada manzilah-manzilah (tempat-tempat bagi perjalanan bulan), maka mula-kmula bulan itu kecil, kemudian cahaya dan bentuknya semakin bertambah sehingga ia menjadi

penuh cahayanya dan sempurnalah purnamanya, kemudian mulailah iya mengecil hingga kembali kepada bentuk semula dalam waktu satu bulan.

Matahari sebagai pusat dalam tata surya merupakan sebuah bintang terbesar dan letaknya dekat dengan bumi. Bintang adalah sebuah benda langit yang dapat menghasilkan cahaya sendiri. Cahaya yang dipancarkan oleh matahari akan menghasilkan energi karena interaksi atom yang ada di dalamnya.

Ayat dan penjelasan dari kedua tafsir diatas menjelaskan bahwa Allah menjadikan matahari bersinar dan bulan bercahaya. Matahari merupakan bintang terbesar di tata surya yang bersinar seperti lentera dapat dijadikan sebagai sumber panas terbesar, sehingga dapat dijadikan energi bagi seluruh makhluk hidup. Sedangkan bulan bagaikan cermin yang memantulkan cahaya matahari yang menyinarinya dan menjadi penderang pada malam hari. Hal ini tercantum pada firman Allah dalam Q.S Nuh/71: 16.

وَجَعَلَ الْقَمَرَ فِيهِنَّ نُورًا وَجَعَلَ الشَّمْسَ سِرَاجًا ۝ ١٦

Terjemahnya:

Dan Allah menciptakan padanya bulan sebagai cahaya dan menjadikan matahari sebagai pelita (Kementrian Agama RI, 2013: 570).

Menurut Tafsir Ibnu Qatsir maksud dari firman Allah “ada perbedaan antara keduanya sesuai kententuannya, untuk diketahui malam dan siang dengan terbit dan terbenamnya matahari. Dan Dia juga menetapkan bagi bulan manzilah (tempat-tempat peredaran) dan bintang yang keduanya mempunyai perbedaan cahaya, terkadang cahayanya bertambah sampai puncak (purnama). Kemudian mulai surut

kembali hingga tidak nampak. Yang demikian itu untuk menunjukkan perjalanan bulan dan tahun.”

Ayat diatas menjelaskan perbedaan cahaya yang dipancarkan matahari dan yang dipantulkan oleh bulan. Cahaya yang dipancarkan matahari disebut dengan diya (sinar) karena sinar yang terpancar memiliki tingkat suhu yang tinggi. Hal ini berbeda dengan cahaya yang dipantulkan bulan yang disebut dengan nur (cahaya) memiliki tingkat suhu rendah. Hal tersebut terdapat didalam firman Allah dalam QS. Yasin/36:

80

الَّذِي جَعَلَ لَكُم مِّنَ الشَّجَرِ الْأَخْضَرِ نَارًا فَإِذَا أَنْتُمْ مِّنْهُ تُوقَدُونَ ۝ ٨٠

Terjemahnya:

Yaitu Tuhan yang menjadikan api dari bahan yang hijau, maka tiba-tiba kamu nyalakan (api) dari bahan itu (Kementrian Agama RI, 2013: 445).

Menurut Tafsir Ibnu Qatsir, maksud dari firman Allah “Rabmu yang menciptakan pohon ini dari air. Hingga menjadi hijau dan indah, berbuah dan berbunga, kemudian mengulaginya hingga menjadi bahan yang kering untuk menyalahkan api. Seperti itu pula dia melakukan apapun yang dia kehendaki dan tidak ada satu yang mampu mencegah-Nya.” Yakni dari seluruh ciptaan Allah dimuka bumi tidak ada yang sia-sia bahkan dari hal yang paling kecil namun itu kembali kepada manusia yang memiliki ilmu sehingga dapat dimanfaatkan dengan baik.

Berbagai macam tanaman dapat tumbuh dibumi ada pula yang mengalami perubahan warna daun selama proses pertumbuhannya demikian juga dengan



beraneka ragam warna bunga dan kayu, padahal semuanya berasal dari zat alam yang sama yaitu air. Tetapi menghasilkan tumbuhan dengan daun, bunga, buah dan bahan berbeda. Pemanfaatannya terus dikembangkan sehingga dapat diaplikasi sebagai pewarna dalam teknologi DSSC. Sesungguhnya hal-hal ini terdapat tanda-tanda kebesaran Allah bagi yang menyadari

#### **F. Pewarna DSSC**

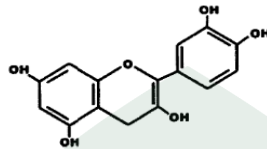
Zat pewarna merupakan memanfaatkan molekul-molekul pigmen yang bersumber dari alam maupun sintesis. Zat pewarna ini berguna sebagai *sensitized* sehingga dapat menyerap foton yang bersumber dari cahaya. Zat pewarna yang dapat diaplikasi pada teknologi DSSC terbagi atas dua yaitu pewarna sintesis dan pewarna alami. Pada pewarna sintesis efisiensi maksimum sebesar 10% yang berasal dari jenis *Ruthenium Complex* namun pewarna sintesis memiliki kelemahan pada ketersediaan minim dan harga yang mahal (Maddu, dkk., 2007: 78) sehingga peneliti mengembangkan pewarna alami yang berasal dari batang, daun, bunga, dan buah. Adapun keunggulan dari pewarna alami yaitu ekstraksi lebih mudah, ketersediaan melimpah dan ramah lingkungan (Hao, dkk., 2004). Jenis zat pewarna alami yang dapat digunakan dalam teknologi DSSC seperti antosianin, klorofil dan karotenoid.

##### **1. Antosianin**

Antosianin merupakan pewarna yang dapat diaplikasikan dalam teknologi DSSC. Pewarna ini terbentuk dari senyawa alami yang dapat di temukan pada buah, sayur dan bunga. Ciri khas dari antosianin ialah memiliki 3 atom karbon berbentuk

cincin. Antosianin memiliki peran untuk pembentukan warna merah hingga kuning.

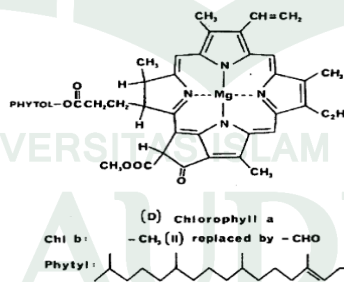
Struktur dapat di liat pada gambar berikut:



Gambar 2.4: Struktur Antosianin  
Sumber: Rahmi, 2007

## 2. Klorofil

Klorofil merupakan salah satu zat pewarna alami yang dapat diaplikasikan dalam teknologi DSSC karena dapat meningkatkan sensitized solar sel, sekaligus memiliki peran dalam pembentukan pigmen warna hijau yang digunakan dalam proses fotosintesis (Nygren, 2010). Struktur dari klorofil dapat di liat pada gambar berikut



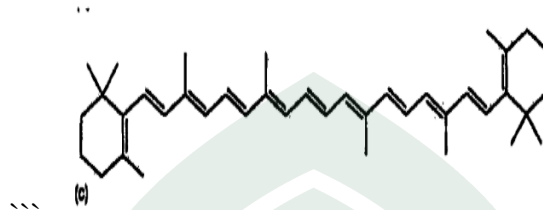
Gambar 2.5: Struktur klorofil  
Sumber: Rahmi, 2007

## 3. Karotenoid

Karotenoid merupakan salah satu zat pewarna yang dapat diaplikasikan dalam teknologi DSSC. Zat pewarna ini dapat di temui pada wortel, jeruk, cabe dan

lainnya dan memiliki peran dalam pembentukan warna kuning, merah dan jingga.

Struktur karotenoid dapat dilihat dalam gambar berikut:



Gambar 2.6: Struktur Karotenoid  
Sumber: Rahmi, 2007

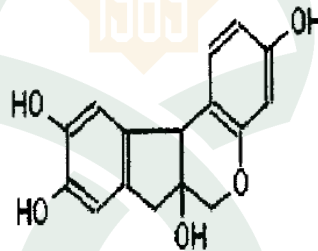
#### G. Secang (*Caesalpinia Sappan Linn*)

Secang merupakan tumbuhan dikotil yang dapat dijumpai di daerah berbukit dan biasanya tumbuh pada tanah kapur dan tanah liat pada dataran sedang maupun dataran rendah. Bahan secang yang memiliki nama latin *Caesalpinia Sappan L* termasuk dalam keluarga *Leguminosae*. Tumbuhan secang dapat kenali dengan ciri khas seperti memiliki batang bercabang, berduri dan berwarna merah, ungu hingga orange dan memiliki ketinggian 4-10 m.



Gambar 2.7: Bahan Secang

Pemanfaatan bahan secang masih dalam seputaran dunia medis yaitu sebagai obat luka, antidiare, penawar racun dan masih banyak lagi. Ini dikarenakan unsur yang terkandung dalam bahan secang berupa brazilin merupakan senyawa yang bertanggung jawab memberikan pigmen merah pada tumbuhan dan juga brazilin merupakan senyawa antioksidan yang dapat digunakan dalam melindungi tubuh dari racun (zat kimia). Dan kemudian sifat kimia dan fisik dari brazilin ( $C_{16}H_{14}O_5$ ) dapat dilihat pada tabel berikut



Gambar 2.8: Struktur Kimia Brazilin  
Sumber: Oliveria, *et al.*, 2002

Tabel 2.1 Sifat kimia dan fisik senyawa brazilin

Parameter	Karakteristik
Kelarutan	Sulit larut pada air dingin Mudah dengan air panas Larut pada etanol dan eter Larut pada alkali dan hidroksi
Titik leleh	150 °C
Rapat Optik	Kurang lebih 120 °C
Suhu Peruraian	>130 °C
Bau	Aromatik
pH	4,5-5,5
Warna	Kuning, orange dan merah

Sumber: Rahmi, 2007

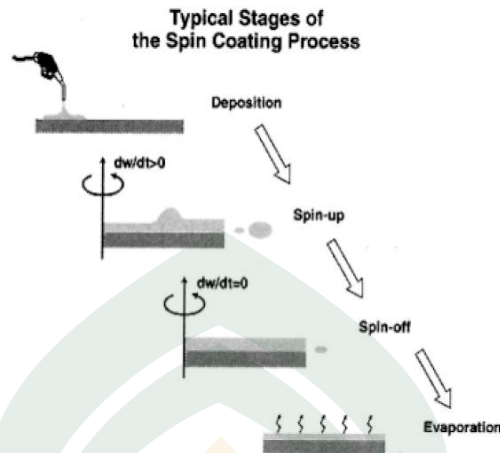
## H. Metode Pendeposisian DSSC

### 1. Metode Dasar (*Doctor Blade*)

Metode *doctor blade* merupakan metode yang paling mudah untuk aplikasi pada DSSC karena hanya dengan menggunakan batang pengaduk untuk meratakan lapisan  $\text{TiO}_2$  pada kaca ITO dan kemudian dilanjutkan dengan pemanasan (sintering) dengan temperatur dan lama pemanasan yang telah disepakati (Zamrani, dkk. 2013). Terkhusus pada pemanasan berfungsi sebagai pelekatan (difusi) atom  $\text{TiO}_2$  dengan kaca ITO. Temperatur yang biasa digunakan yakni dibawah titik leleh kaca ITO sebesar  $<600\text{ }^\circ\text{C}$  (Hadi, 2016: 28).

### 2. Spin Coating

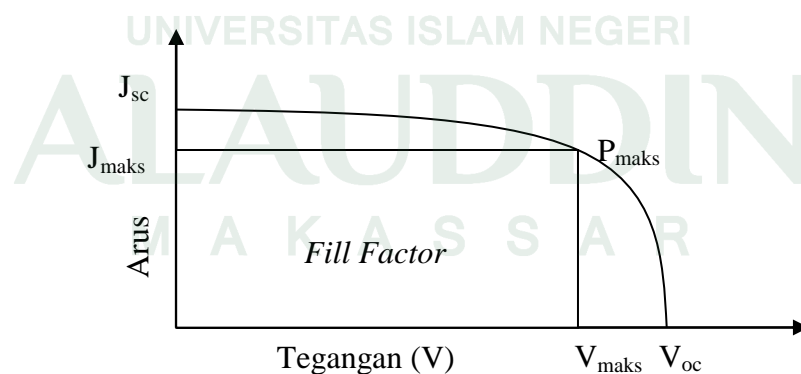
*Spin coating* merupakan metode yang digunakan dalam meratakan serbuk  $\text{TiO}_2$  pada kaca ITO dengan cara meneteskan serbuk  $\text{TiO}_2$  pada kaca substrat kemudian diputar dengan kecepatan tinggi dan konstan selama 1 – 3 menit. Menurut Ekasari (2013) untuk mendapatkan nilai pendeposisian efektif menggunakan lama waktu 10 menit dan suhu  $200\text{ }^\circ\text{C}$ . sehingga dengan *spin coating* akan mendapatkan lapisan  $\text{TiO}_2$  yang tipis dan berkualitas (Romli dan Gontjang, 2013: 4).



Gambar 2.9: langkah-langkah metode spin coating  
Sumber: Parija dan Panigrahi, 2009

### I. Nilai Efisiensi DSSC

Nilai efisiensi pada DSSC dapat diketahui dengan kurva dua dimensi ( $x,y$ ) atau hubungan kerapatan arus dengan tegangan (M. Gratzel, 2003). Nilai efisiensi muncul karena titik perpotongan kerapatan arus dan tegangan yang memiliki nilai yang besar. Bentuk kurva kerapatan arus dan tegangan dapat dilihat pada gambar berikut



Gambar 2.10: Kurva Efisiensi  
Sumber: M, Gratzel 2003

Pada gambar 2.10 menggambarkan arus dan tegangan bersifat berbanding terbalik yang mana arus bernilai maksimal sedangkan tegangan bernilai minimum. Ini didapatkan karena potesiometer yang digunakan untuk mengatur arus dan tegangan yang masuk pada rangkaian. Pada nilai potensiometer minimum (nol) akan menghasilkan nilai arus yang besar sedangkan tegangan kecil, begitu sebaliknya pada potensiometer bernilai maksimum maka akan membesarkan nilai tegangan sedangkan akan memperkecil nilai arus yang mengalir. Nilai *fill factor* di tentukan dari nilai maksimum rapatan arus dan tegangan. Nilai rapat arus merupakan berbanding antara arus *short circuit* ( $I_{sc}$ ) dengan dimensi berpangkat.

$$J_{sc} = \frac{I_{sc}}{A} \quad (1)$$

Rapat arus maksimum dapat ditentukan dengan arus maksimal dengan dimensi berpangkat.

$$J_{maks} = \frac{I_{maks}}{A} \quad (2)$$

Fill factor merupakan nilai kuantatif dan kualitas suatu sel surya. Fill factor didapatkan dari nilai arus dan tegangan (J-V). dengan menggunakan persamaan berikut dapat menentukan nilai FF

$$FF = \frac{V_{maks} J_{maks}}{V_{oc} I_{sc}} \quad (3)$$

Keterangan:

FF = *Fill factor*

$V_{maks}$  = Tegangan maksimum (mV)

$I_{maks}$  = Arus maksimum (mA)

$I_{sc}$  = Arus tertinggi (mA)

$V_{oc}$  = Tegangan pada kondisi open circuit (V)

$J_{maks}$  = Kerapatan arus maksimal (mA/cm<sup>2</sup>)

$J_{sc}$  = Kerapatan arus saat open circuit (mA/cm<sup>2</sup>)

Sehingga dapat menentukan daya maksimum pada sel surya:

$$P_{out} = J_{sc} \times V_{oc} \times FF \quad (4)$$

Dengan demikian nilai efisiensi merupakan perbandingan antara daya yang masuk ( $P_{in}$ ) dengan daya keluaran ( $P_{out}$ ). Nilai efisiensi dapat diketahui dengan persamaan berikut:

$$PCE = \eta = \frac{P_{out}}{P_{in}} \times 100 \% = \frac{J_{sc} \times V_{oc} \times FF}{I_0} \times 100 \% \quad (5)$$

Keterangan:

$\eta$  = Efisiensi (%)

$P_{out}$  = Daya keluaran (mW/cm<sup>2</sup>)

$P_{in}$  = Daya masuk (mW/cm<sup>2</sup>)

## J. Instrumen Uji

### 1. Spektroskopi

Spektrofotometer (UV-Vis) merupakan alat yang digunakan dalam pengukuran energi cahaya dengan mengidentifikasi nilai panjang gelombang dan nilai absorbansi tertentu. Alat spektrometer dapat mengukur dua jenis sinar yakni sinar ultraviolet (UV) dengan panjang gelombang 200 – 400 nm dan sinar visible (tampak)



yang berada pada panjang gelombang 400-750 nm. Dengan spektrometer (UV-Vis) merupakan cara untuk mengetahui komposisi dari suatu sampel baik kualitatif maupun kuantitatif (Khopkhar, 2003). Cara kerja dari spektrometer (UV-Vis) yaitu menyerap cahaya, yang mana apabila sinar menumbuk senyawa, maka sinar akan diserap oleh molekul-molekul kemudian akan diidentifikasi melalui nilai warna, panjang gelombang dan nilai absorbansi. Pada setiap warna memiliki panjang gelombang yang berbeda dan dapat dilihat pada tabel berikut.

Tabel 2.2: Spektrum warna

Panjang gelombang (nm)	Warna yang diserap	Warna komplementer (warna tampak)
400 – 435	Ungu	Hijau kekuningan
435 – 480	Biru	Kuning
480 – 490	Biru kehijauan	Jingga
490 – 500	Hijau kebiruan	Merah
500 – 650	Hijau	Ungu kemerahan
650 – 580	Hijau kekuningan	Ungu
580 – 595	Kuning	Biru
595 – 610	Jingga	Biru kehijauan
610 – 800	Merah	Hijau kebiruan

Sumber: Seran. 2011

## 2. Karakterisasi SEM

SEM (*Scanning Electron Microscopy*) instrumen yang digunakan dalam pembentukan bayangan permukaan. Bayangan permukaan terbentuk ketika electron menubuk suatu permukaan bahan. Instrumen SEM mampu menghasilkan gambar dengan resolusi yang sangat tinggi dari suatu sampel. Sehingga instrumen SEM dapat menganalisis suatu sampel secara kualitatif. Instrumen SEM memiliki dua macam yakni SEM yang digunakan untuk menggambarkan permukaan sampel dengan scan

rester, kemudian SEM-EDX memiliki fungsi hampir sama yakni menganalisis permukaan sampel namun EDX dapat mendeteksi unsur yang terdapat pada suatu material. Sehingga dapat menentukan struktur permukaan pada suatu sampel dan komposisi pada suatu sampel.



## **BAB III**

### **METODE PENELITIAN**

#### **A. Waktu dan Tempat Penelitian**

Penelitian telah dilaksanakan pada:

Waktu: Oktober 2018 – Maret 2019

Tempat:

1. Laboratorium Kimia Organik Fakultas Sains dan Teknologi UINAM  
(Preparasi sampel dan ekstraksi bahan secang)
2. Laboratorium Kimia Terpadu FMIPA UNHAS (Pengujian UV-Vis)
3. Laboratorium Fisika Modern Fakultas Sains dan Teknologi UINAM  
(Pembuatan elektroda kerja, elektroda pembanding dan elektrolit)
4. Laboratorium Fisika FMIPA Universitas Gadjah Mada (Pengujian SEM-EDX)

#### **B. Alat dan Bahan**

1. Alat yang digunakan dalam penelitian sebagai berikut:
  - a. Spektrometer UV-Vis (UV-2600 Shimadzu)
  - b. SEM – EDX
  - c. Multimeter
  - d. Lux Meter
  - e. Termokopel
  - f. Neraca Analitik

- g. Serangkaian alat destilasi (*hot plate*, selang, *aerator* dan labu *erlenmeyer*)
- h. Lemari Asam
- i. Digital Ultrasonic Cleaner
- j. Gunting
- k. Potensiometer
- l. Blander
- m. Labu Takar
- n. Gelas Kimia (1 ml, 10 ml dan 100 ml)
- o. Mortar dan Alu
- p. Cawan
- q. Kompor Listrik
- r. Spatula
- s. Corong
- t. Penutup Tabung
- u. Toples
- v. Selotip
- w. Penjepit Kertas dan Penjepit Buaya
- x. Kabel Penghubung
- y. Pipet Tetes
- z. Korek Api

2. Bahan yang dibutuhkan dalam penelitian sebagai berikut:

- a. Kaca ITO (*Indium tin oxide*)
- b. Bubuk TiO<sub>2</sub>
- c. Pewarna (bahan secang)
- d. Etanol (*alcohol 96%*)
- e. Aluminium Foil
- f. Aquades
- g. Kertas Label
- h. Kertas Saring
- i. *Carbon*
- j. Tissue
- k. *Cotton bud*

### C. Prosedur kerja

#### 1. Persiapan Alat dan Bahan

- a. Menyiapkan semua alat dan bahan serta pakaian laboratorium seperti baju laboratorium, masker dan sarung tangan.
- b. Menyiapkan alat pada proses ekstraksi seperti toples, pengaduk dan lainnya kemudian cuci dengan alkohol sampai bersih lalu mengkeringkan.
- c. Menyiapkan bahan secang yang masih segar untuk proses ekstraksi

#### 2. Ekstraksi Sampel

- a. Menyiapkan bahan secang (*Caesalpinia sappan L*) yang masih segar. Selanjutnya membuat ekstrak dari bahan secang dengan memotong hingga

berukuran kecil dengan mesin. Selanjutnya memblender untuk mendapatkan ukuran yang lebih kecil.

- b. Menimbang sampel bahan sebang yang sudah menjadi serbuk sebanyak 50 gram.
- c. Merendam sampel dengan etanol.
- d. Merendam sampel selama 20 menit, 24 jam dan 48 jam.
- e. Selanjutnya penyaringan sampel dengan kain untuk melanjutkan pada tahap evaporasi.
- f. Menyiapkan sampel bahan sebang yang telah disaring kemudian memasuk kedalam evaporasi dengan *temperature* 60 °C. Melakukan Evaporasi untuk memisahkan pelarut dari larutan.
- g. Setelah melakukan evaporasi kemudian memasukan sampel dalam lemari asam untuk memperkecil nilai pelarut dalam pewarna.



Gambar 3.1: Hasil Ekstraksi Bahan Secang

- h. Kemudian sampel menyimpan untuk dilakukan uji UV-Vis.

- i. Pengujian UV-Vis melakukan dengan pengenceran sampel bahan sebang sebanyak 100 kali dengan etanol.
- j. Sampel bahan sebang yang telah dilarutkan mengujinya dengan UV-Vis (UV-2600 Shimadzu)
- k. Hasil yang diperoleh dari pengujian UV-Vis berupa nilai absorbansi dan panjang gelombang, dan dapat dilihat pada tabel berikut:

Tabel 3.1: Pengamatan uji Spektrofotometer UV-Vis

No.	Panjang Gelombang (nm)	Absorbansi
1	...	...
2	...	...
3	...	...
4	...	...
5	...	...
...	...	...

3. Pembuatan Lapisan  $\text{TiO}_2$  dan elektroda *carbon* pada kaca ITO (*Indium Thin Oxide*)
  - 1) Lapisan  $\text{TiO}_2$  pada kaca ITO (*Indium Thin Oxide*)
    - a. Menyiapkan dan melarutkan  $\text{TiO}_2$  dengan etanol kemudian hancurkan dengan menggunakan moltar.
    - b. Menyiapkan kaca ITO dengan ukuran  $20 \times 20 \times 0.7$  mm dan mengukur resistansi kaca pada salah satu bidang kaca ITO (*Indium Thin Oxide*).
    - c. Membuat cetakan sebesar  $1.5 \text{ cm} \times 1.5 \text{ cm}$  pada kaca ITO dengan menggunakan solatip dengan ketebalan  $100 \mu\text{m}$ ,  $155 \mu\text{m}$  dan  $200 \mu\text{m}$ .

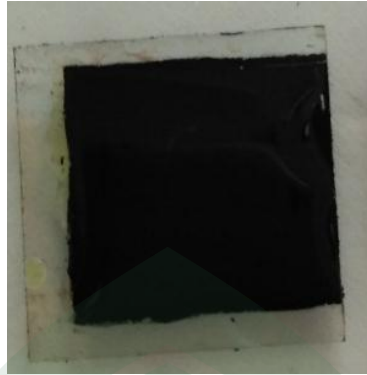
- d. Meletakkan bubuk  $\text{TiO}_2$  pada kaca ITO pada bidang yang memiliki resistansi dan telah memberikan ukuran dengan ketebalan 100  $\mu\text{m}$ , 155  $\mu\text{m}$  dan 200  $\mu\text{m}$ .
- e. Selanjutnya mengoleskan (*doping*) bubuk  $\text{TiO}_2$  pada kaca ITO dengan metode *doctor blade*.
- f. Setelah 10 menit, pasta (kaca ITO +  $\text{TiO}_2$ ) telah memanaskan dengan *hot plate* selama 1 jam dengan *temperature* 300 °C.
- g. Setelah proses sintering pasta (kaca ITO +  $\text{TiO}_2$ ) selanjutnya perendaman dengan *dye* selama 15 jam.



Gambar 3.2: Doping  $\text{TiO}_2$  ke Kaca ITO

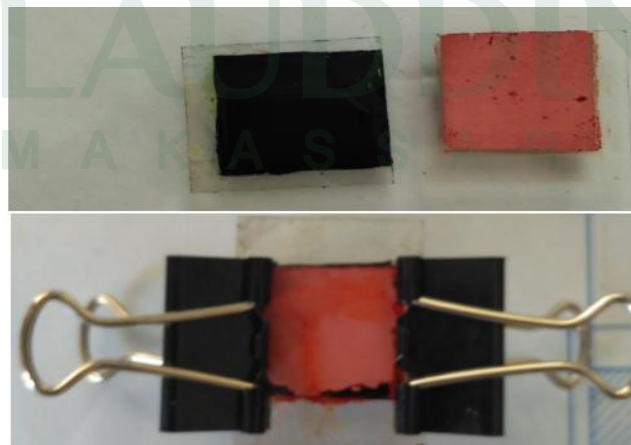
- 2) Pembuatan Lapisan elektroda *carbon* pada kaca ITO (*Indium Thin Oxide*)
  - a. Mengukur resistansi pada salah satu bidang kaca ITO
  - b. Kemudian membakar bidang pada kaca ITO yang terdapat resistansi dengan menggunakan lilin hingga semua tertutupi oleh *carbon*.
  - c. Selanjutnya membentuk ukuran sebesar 1.5 cm  $\times$  1.5 cm pada kaca yang telah dilapisi *carbon*.





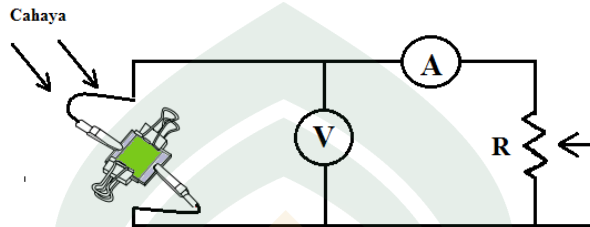
Gambar 3.3: Elektroda Pembanding

4. Pembuatan Larutan Elektrolit.
  - a. Menyiapkan KI dan larutan Iodine dengan perbandingan 3gram KI dan 5 ml  $I_2$ .
  - b. Mengaduk hingga KI dan  $I_2$  bersifat homogen.
5. Pembuatan Lapisan Bulger DSSC
  - a. Menyiapkan pasta (ITO +  $TiO_2$  + *dye*), pasta (ITO + *carbon*) dan elektrolit.
  - b. Kemudian pasta (ITO +  $TiO_2$  + *dye*) dan pasta (ITO + *carbon*) menyusun seperti bulger (berlapis) dengan bagian  $TiO_2$  dan *carbon* saling berhadapan.
  - c. Kemudian menjepit bulger dengan penjepit kertas sebanyak dua buah.



Gambar 3.4: Lapisan DSSC

- d. Kemudian menetesakan elektrolit pada bagian dalam kaca ITO
6. Pengujian Arus dan Tegangan DSSC
- a. Menyiapkan rangkain seperti gambar berikut:



Gambar 3.5: Rangkaian DSSC  
Sumber: M. Gratsel, 1998

- b. Pada rangkaian tersebut menggunakan potensiometer 100 K.
- c. Kemudian letakan lapisan DSSC pada sinar matahari untuk dapat mengukur nilai tegangan dan arus dengan memutar potensiometer.

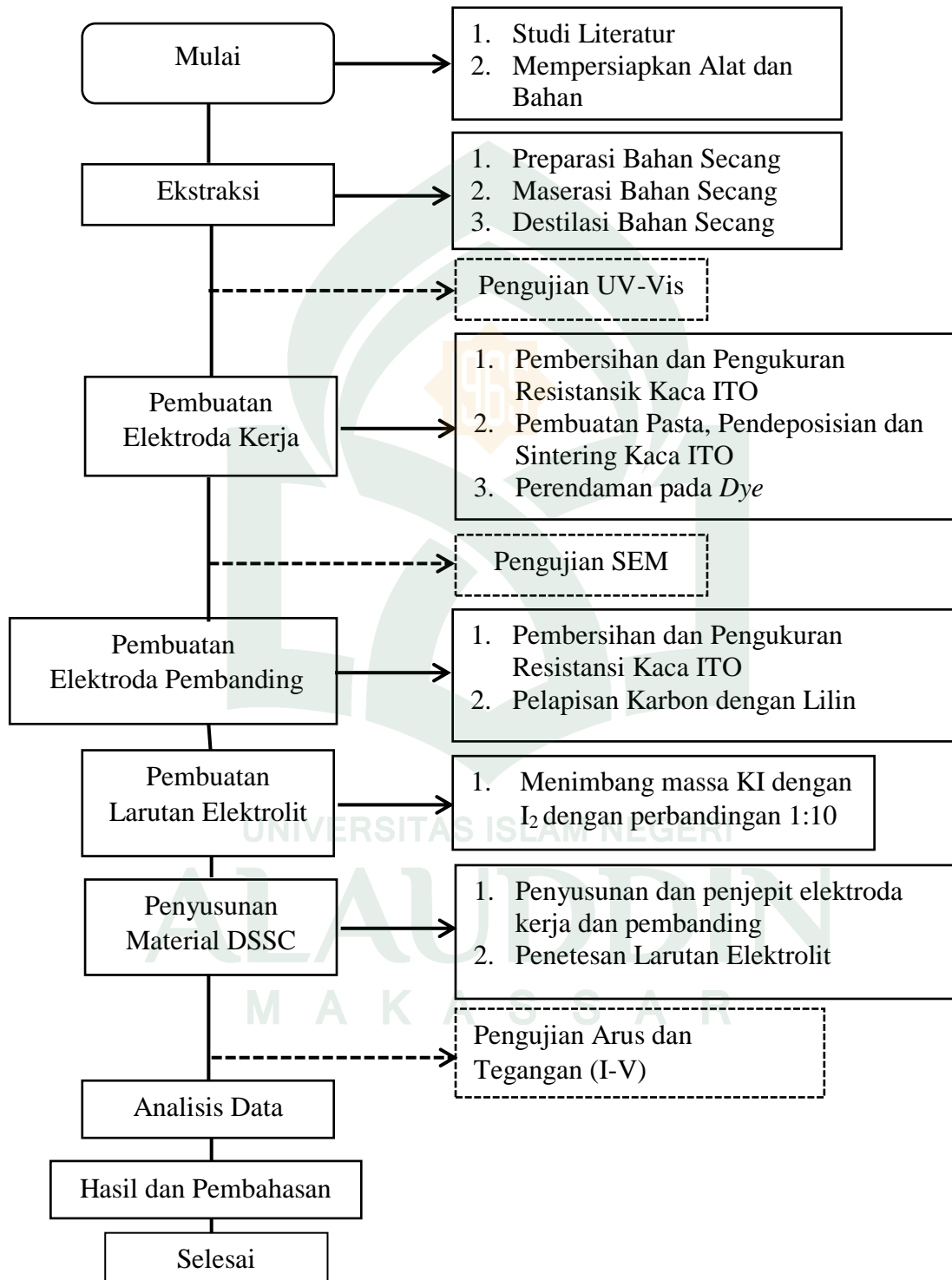
Tabel 3.2: Uji Arus dan Tegangan

No.	Tegangan (V)	Arus (mA)
1	...	...
2	...	...
3	...	...
4	...	...
5	...	...
...	...	...

7. Pengujian SEM-EDX

Pengujian ini dilakukan pada kaca ITO yang telah dioleskan  $\text{TiO}_2$  dan perendaman dengan menggunakan pewarna alami. Karena dengan pengujian SEM-EDX dapat mengetahui struktur permukaan serta dapat mengetahui seberapa banyak pewarna yang melekat pada  $\text{TiO}_2$ .

## 8. Diagram Alir Penelitian



## **BAB IV**

### **HASIL DAN PEMBAHASAN**

Telah dilakukan Penelitian, tentang solar cell (*Photovoltaics*). Dengan titik fokus pada DSSC (*dye sensitized solar cell*), DSSC merupakan teknologi sell surya yang memerlukan pewarna (*dye*) yang dapat meningkatkan sensitifitas pada sell surya. Teknologi DSSC terus dikembangkan karena memiliki keunggulan pada harga yang murah, mudah dikerja dan ramah lingkungan (O'Regan *and* Grätzel 1991; Smestad *and* Gratzel 1998; Grätzel 2003). Tiga komponen penting dalam DSSC yakni elektroda kerja, elektroda pembanding dan elektrolit. Sebagai mana telah dipaparkan pada bab sebelumnya susunan dari elektroda kerja, elektroda pembanding dan elektrolit serta cara pembuatannya.

Dengan demikian selanjutnya akan membahas mengenai proses preparasi sampel hingga pengujian sampel. Pengujian yang telah dilakukan yakni uji UV-Vis, pengukuran arus dan tegangan serta analisis morfologis sampel dengan uji SEM (*Scanning Electron Microscopy*).

#### **A. Nilai Absorbansi tertinggi terhadap variasi lama perendaman pada pengujian UV-Vis.**

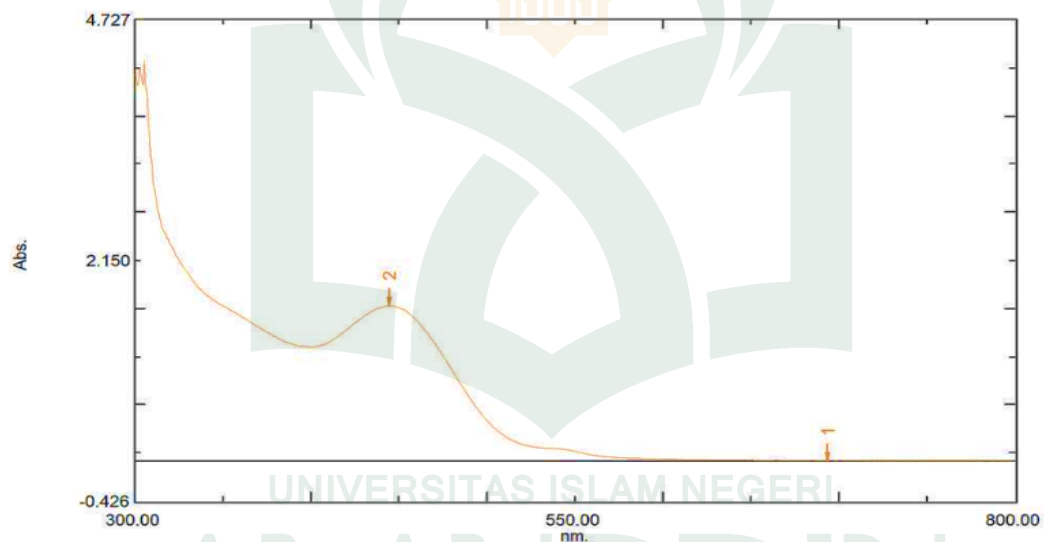
Pengujian pertama dalam mekanisme pembuatan teknologi DSSC yakni Uji UV-Vis dengan menggunakan alat *Spectrophotometer* UV Visible 2600. Tujuan pengujian UV-Vis untuk mengetahui nilai absorbansi yang terdapat pada suatu sampel. Absorbansi merupakan nilai yang dapat mengidentifikasi kuantitas molekul

pada suatu sampel. Dengan kata lain semakin tinggi nilai absorbansi pada suatu sampel, maka menunjukkan banyaknya molekul yang penyerapan cahaya pada panjang gelombang tertentu (Neldawati, dkk., 2013). Sampel yang digunakan dalam penelitian ini, yaitu secang atau sappang (*Caesalpinia Sappan Linn*) yang berasal dari Kabupaten Maros Sulawesi Selatan.

Bahan secang diproses menjadi pewarna (*dye*) melalui proses ekstraksi dengan menggunakan metode maserasi dan evaporasi. Proses maserasi dilakukan dengan memotong-motong bahan secang, kemudian di blender hingga ukuran menjadi kecil selanjutnya ditimbang dan direndam dengan etanol dengan kadar 96%. Perendaman dalam penelitian ini menggunakan 3 jenis waktu perendaman yang berbeda yaitu 20 menit, 24 jam dan 48 jam, sebagaimana yang dilakukan oleh Putri (2018), dengan menggunakan sampel secang dan melakukan proses maserasi selama 48 jam pada suhu ruang dan Ini berbeda dengan penelitian yang dilakukan oleh Rani (2013), sampel secang di rendam menggunakan lama perendaman 72 jam pada suhu ruang dan Aisyah (2017), melakukan proses maserasi selama 72 jam pada suhu ruang dengan pewarna berasal dari daun ketapang. Tujuan dilakukannya perendaman dengan waktu yang berbeda yakni untuk mendapatkan nilai absorbansi tertinggi yang akan digunakan sebagai pewarna (*dye*) dalam teknologi DSSC. Evaporasi merupakan metode yang digunakan dalam memisahkan pewarna dengan pelarut (etanol), cara

memisahkan pewarna dengan pelarut menggunakan alat evaporator. Hasil dari proses ekstraksi dapat dilanjutkan pengujian UV-Vis.

Pengujian dilakukan melakukan pengenceran sampel secang sebanyak 100 kali dengan palarut etanol 96% dengan tujuan untuk mempermudah dalam identifikasi sampel dengan alat *Spectrophotometer* UV Visible 2600. Pengujian UV-Vis dilakukan untuk mengetahui nilai absorbansi yang diukur dengan panjang gelombang 300-800nm. Hasil pengujian dapat dilihat pada grafik berikut:



Grafik 4.1: Hasil uji UV-Vis sampel secang perendaman 20 menit.

Gafik diatas pada perendaman 20 menit menggambarkan hubungan antara nilai absorbansi dan panjang gelombang. Terdapat 2 puncak dengan nilai absorbansi dan panjang gelombang yaitu absorbansi 0.008 dan 1.663 dengan panjang gelombang 639.5 dan 444.5 nm . Hal ini sama dengan hasil UV-Vis yang diperoleh Landuma (2014) memperoleh 2 puncak pada sampel 40 gram dengan etanol 300 ml dan

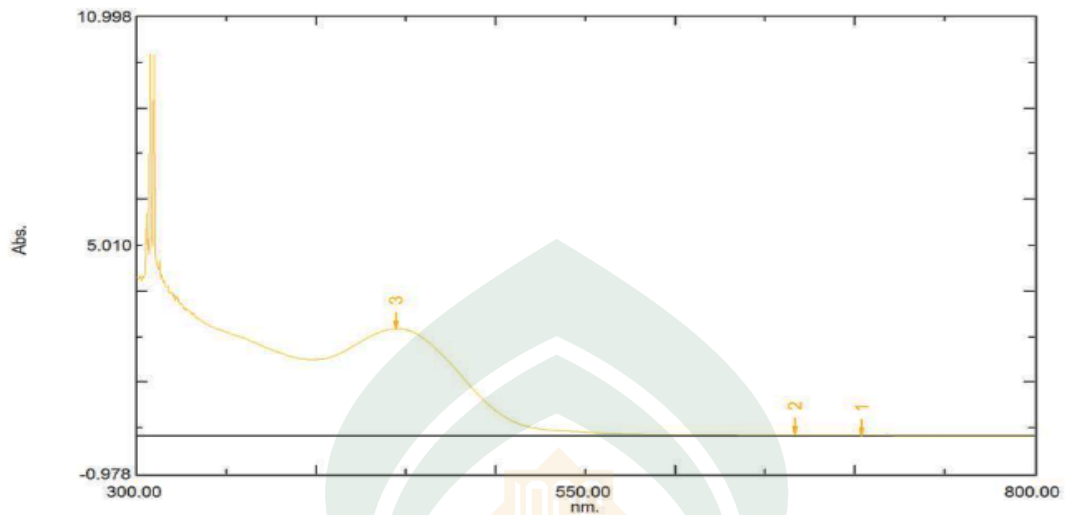
dilakukan perendaman selama 3 jam. Selanjutnya indentifikasi hasil sampel secang, nilai absorbansi maksimum sebesar 1.663 berada pada panjang gelombang 444.5 nm, untuk nilai absorbansi minimum sebesar 0.008 berada pada panjang gelombang 693.5 nm. Sedangkan penelitian yang dilakukan oleh Magaraphan (2013), Landuma (2014) dan Putri (2018) dengan menggunakan *dye* dari secang memperoleh nilai panjang gelombang 448 & 539 nm, 328–515 nm dan 480-500 nm. Hasil panjang gelombang yang berbeda disebabkan kerana menggunakan waktu perendaman yang berbeda pada proses maserasi. Untuk memperjelas hasil UV-Vis pada sampel secang dengan perendaman 20 menit dapat di lihat pada tabel 4.1, sebagai berikut:

Tabel 4.1: Nilai Absorbansi dan Panjang Gelombang pada Sampel Secang 20 menit.

No	Wavelength	Abs
1	693.5	0.008
2	444.5	1.663

Sampel selanjutnya, sampel secang dengan perendaman 24 jam. Maka dapat dilihat grafik UV-Vis berikut:

UNIVERSITAS ISLAM NEGERI  
**ALAUDDIN**  
 MAKASSAR



Grafik 4.2: Hasil uji UV-Vis sampel secang perendaman 24 jam

Hasil uji UV-Vis pada gambar 4.2 pada sampel secang dengan perendaman 24 jam menggambarkan hubungan antara nilai absorbansi dan panjang gelombang. Grafik sampel secang dengan lama perendaman 24 jam menunjukkan terdapat 3 puncak dengan nilai absorbansi. Hasil dapat dilihat pada tabel berikut:

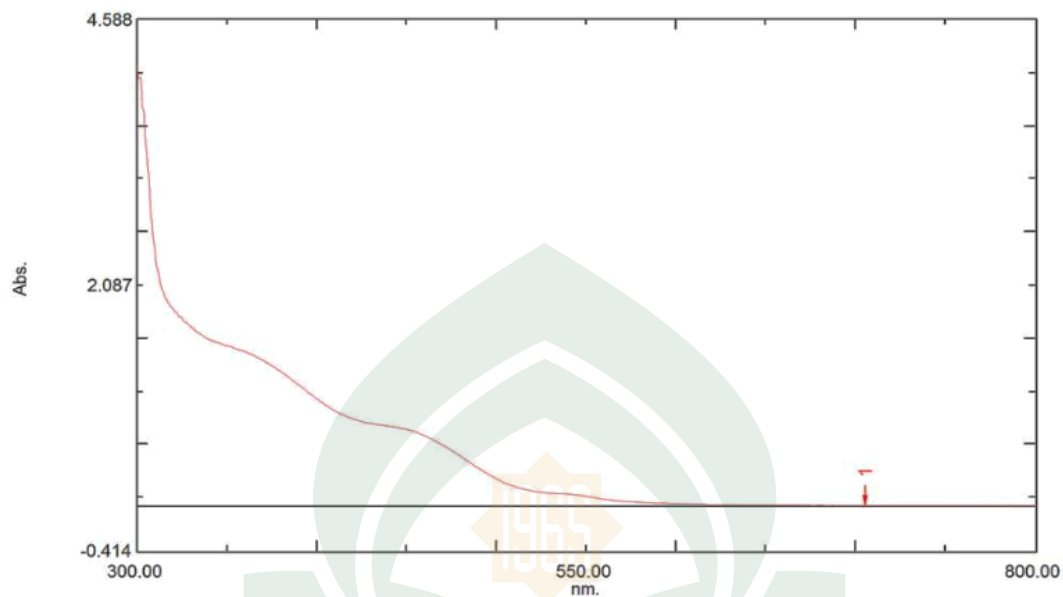
Tabel 4.2: Nilai Absorbansi dan Panjang Gelombang pada Sampel Secang 24 jam.

No	Wavelength	Abs
1	703.5	0.029
2	667	0.034
3	444.5	2.83

Identifikasi Tabel 4.2 Grafik diatas pada perendaman 24 jam menggambarkan hubungan antara nilai absorbansi dan panjang gelombang. Terdapat 3 puncak dengan nilai absorbansi dan panjang gelombang yaitu absorbansi 0.029, 0.034 dan 2.83 dengan panjang gelombang 703.5, 667 dan 444.5 nm. Hal ini sama dengan hasil UV-Vis yang diperoleh Landuma (2014) memperoleh 3 puncak pada sampel 50 gram



dengan etanol 300 ml dan dilakukan perendaman selama 3 jam. Selanjutnya indetifikasi hasil sampel secang, nilai absorbansi maksimum sebesar 2.83 berada pada panjang gelombang 444.5 nm, untuk nilai absorbansi minimum sebesar 0.029 berada pada panjang gelombang 703.5 nm. Sedangkan penelitian yang dilakukan oleh Magaraphan (2013), Landuma (2014) dan Putri (2018) dengan menggunakan *dye* dari secang memperoleh nilai panjang gelombang 448 & 539 nm, 328–515 nm dan 480–500 nm. Hasil panjang gelombang yang berbeda disebabkan kerana menggunakan waktu perendaman yang berbeda pada proses maserasi. Namun yang di lakukan oleh Putri (2018) penelitiannya berfokus pada pengaruh variasi konstrasi pada etanol, untuk memperoleh nilai absorbansi tertinggi, berbeda dengan yang dilakukan oleh Landuma (2014) dengan menggunakan jumlah massa yang berbeda dengan konstrasi etanol yang seragam sedangkan yang dilakukan oleh Magaraphan (2013). Sampel selanjutnya, sampel secang dengan perendaman 48 jam. Maka dapat dilihat grafik UV-Vis berikut:



Grafik 4.3: Hasil uji UV-Vis sampel secang perendaman 48 jam

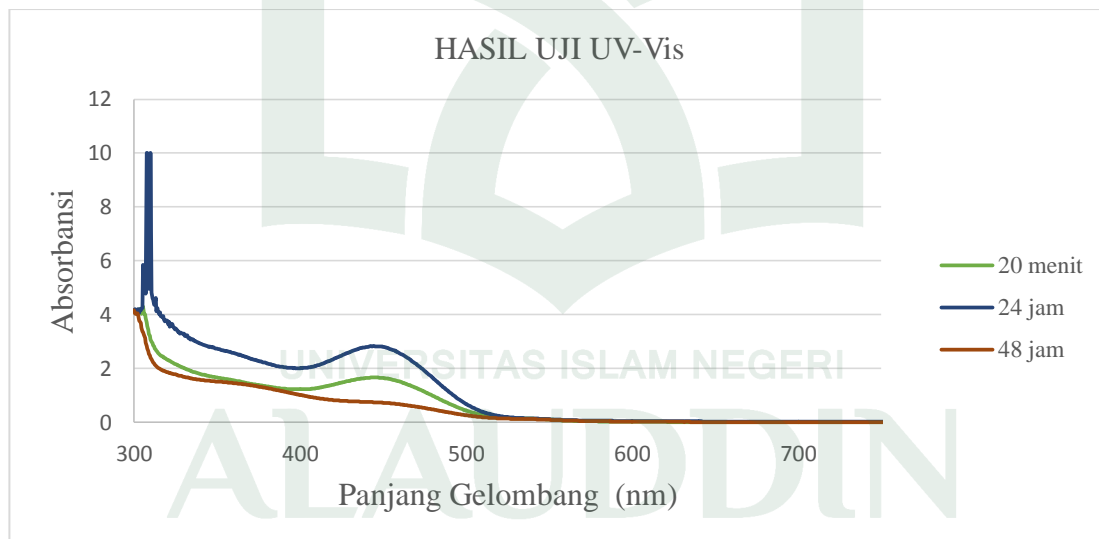
Hasil uji UV-Vis pada sampel secang dengan perendaman 48 jam diatas menggambarkan hubungan antara nilai absorbansi dan panjang gelombang. Grafik sampel secang dengan lama perendaman 24 jam menunjukkan terdapat 1 puncak dengan nilai absorbansi. Hasil dapat dilihat pada tabel berikut:

Tabel 4.3: Nilai Absorbansi dan Panjang Gelombang pada Sampel Secang 48 jam.

No	Wavelength	Abs
1	706	0.009

Identifikasi pada tabel 4.3 dapat menunjukan terdapat penyerapan nilai absorbansi berada pada panjang gelombang 706 nm dengan nilai absorbansi 0.009. Hasil pengujian UV-Vis menunjukan bahwa nilai absorbansi dan panjang gelombang sampel secang dengan lama perendaman 48 jam berada pada visible yang artinya sampel secang dengan perendaman 48 jam memiliki cahaya tampak yang dapat

dilihat oleh mata dengan panjang gelombang 400-800 nm. Hal ini sama dengan hasil UV-Vis yang diperoleh Landuma (2014) memperoleh 1 puncak pada sampel 30 gram dengan etanol 300 ml dan dilakukan perendaman selama 3 jam. Sedangkan penelitian yang dilakukan oleh Magaraphan (2013) Landuma (2014) dan Putri (2018) dengan menggunakan *dye* dari secang memperoleh nilai panjang gelombang 448 & 539 nm, 328–515 nm dan 480-500 nm. Hasil panjang gelombang yang berbeda disebabkan karena menggunakan waktu perendaman yang berbeda pada proses maserasi. Selanjutnya grafik gabungan perendaman sampel secang dapat dilihat sebagai berikut:



Grafik 4.4: Gabungan hasil uji UV-Vis.

Grafik diatas menunjukkan gabungan nilai absorbansi dan panjang gelombang pada sampel secang dengan perendaman 20 menit, 24 jam dan 48 jam. Hasil menunjukkan nilai absorbansi tertinggi di peroleh dari peredaman 24 jam sebesar 2.83 nilai lebih tinggi dibandingkan yang didapatkan oleh Putri (2018), pada penelitiannya

menggunakan variasi konsentrasi etanol saat perendaman 48 jam pada sampel secang, hasilnya menunjukkan dengan konsentrasi 90%v/v dengan nilai absorbansi rata-rata sebesar 0.555. Hal ini disebabkan karena konsentrasi etanol yang di berikan tidak sebanding dengan massa dari sampel secang sehingga nilai absorbansi yang diperoleh kecil.

Berdasarkan proses ekstraksi sampel dan hasil uji UV-Vis yang telah dilakukan dengan menggunakan sampel dari bahan secang (*Caesalpinia Sappan Linn*) yang menggunakan 3 waktu perendaman yang berbeda untuk mendapatkan nilai absorbansi tertinggi. Hasil uji UV-Vis menunjukkan bahwa nilai absorbansi tertinggi 2.83 dengan panjang gelombang 444.5 nm pada waktu perendaman 24 jam. Hal ini disebabkan karena kuantitas senyawa brazalin pada perendaman 24 jam sangat banyak sehingga nilai absorbansi yang peroleh tinggi. Selanjutnya akan digunakan untuk pewarna pada teknologi DSSC.

#### **B. Nilai Efisiensi tertinggi terhadap variasi ketebalan $\text{TiO}_2$ pada pengujian nilai Arus dan Tegangan**

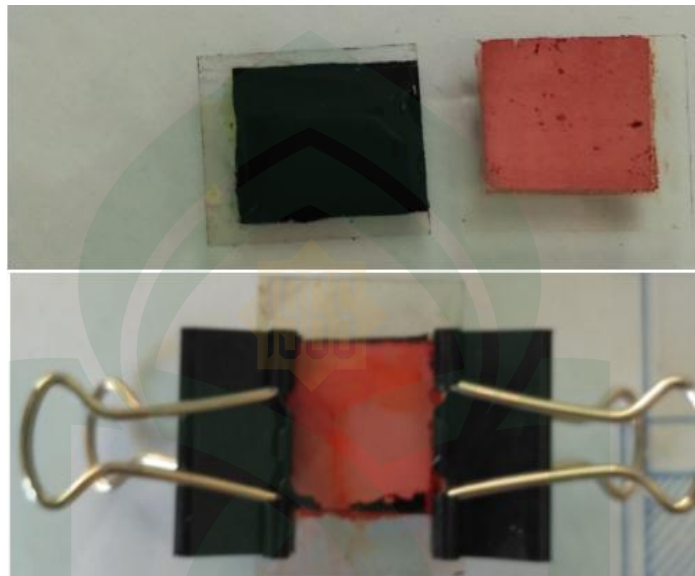
Sampel secang dengan perendaman 24 jam, selanjutnya digunakan dalam perendaman elektroda kerja. Elektroda kerja merupakan komponen penting dalam teknologi DSSC karena memiliki peran sebagai pembentukan *hole* dan penyimpan eletron sementara. Elektroda kerja tersusun dari kaca ITO (*Indium Thin Oxide*) dan bahan semikonduktor, bahan semikonduktor yang digunakan ialah *Titanium Oxide*

(TiO<sub>2</sub>). Metode yang digunakan dalam *doping* TiO<sub>2</sub> pada kaca ITO yakni *doctor blade*.

*Doping* dilakukan dengan menggerus terlebih dahulu TiO<sub>2</sub> dengan menambahkan etanol didalam mortal, saat yang bersamaan membuat cetakan di kaca ITO dengan ukuran 1.5 cm × 1.5 cm × 0.11mm. Penelitian ini menggunakan ketebalan TiO<sub>2</sub> yang berbeda yakni 0.11 mm, 0.15 mm dan 0.2 mm. Ketebalan diperoleh dengan melapiskan beberapa lapis isolasi. Dengan tujuan untuk mendapatkan nilai efisiensi tertinggi, sebagai mana yang dilakukan oleh Kumari (2016), dengan memfariasikan ketebalan memperoleh nilai efisiensi  $6.07 \pm 0.12\%$  pada ketebalan 12.73  $\mu\text{m}$  dan yang dilakukan oleh Sedghi (2015) menggunakan ketebalan 10.3  $\mu\text{m}$ , 13.1  $\mu\text{m}$ , 15.2  $\mu\text{m}$  dan 21.3  $\mu\text{m}$  memperoleh efisiensi tertinggi 7.5% dengan ketebalan 15.2  $\mu\text{m}$ .

Tahap selanjutnya pembakaran kaca ITO yang telah di *doping* TiO<sub>2</sub> (elektroda kerja). Pembakaran dilakukan dengan suhu 350 °C dengan lama 30 menit. Pembakaran dilakukan dengan cara meletakkan elektroda kerja pada pemanas listrik dengan suhu 0 °C sampai konstan pada suhu 350 °C selama 30 menit. Setelah 30 menit elektroda kerja dinginkan pada suhu ruang, dilanjutkan dengan perendaman dengan sampel secang. Perendaman elektroda kerja dengan sampel secang dilakukan selama 15 jam, dengan tujuan untuk meninjau kuantitas *dye* yang melekat pada bahan semikonduktor (TiO<sub>2</sub>). Disamping itu pembuatan elektroda pembanding dengan cara *doping* carbon pada kaca ITO. Penelitian ini menggunakan karbon yang berasal dari pembakaran kaca dengan lilin, kemudian pembuatan elektrolit berasal

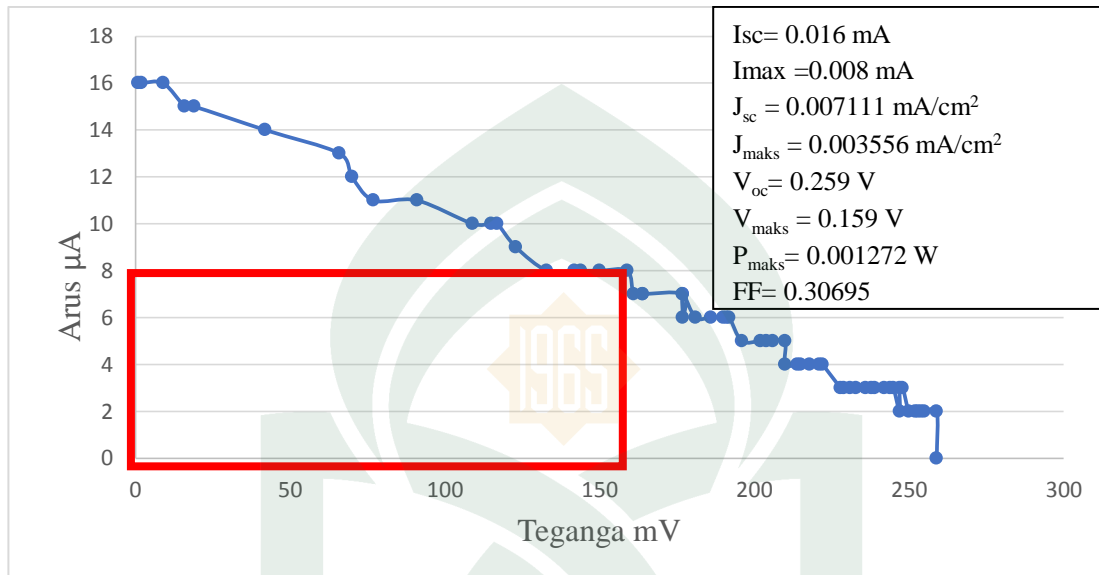
dari KI dan I<sub>2</sub>. Demikian pembuatan elektroda kerja, elektroda pembanding dan elektrolit. Selanjutnya penyusunan seperti bulgur (berlapis), maka dapat diperjelas dengan gambar berikut:



Gambar 4.1: Susunan DSSC (*Dye Sensitized Solar Cell*)

Pengukuran arus dan tegangan dilakukan dengan membuat rangkaian arus dan tegangan secara seri dan paralel yang telah tertera pada gambar 3.5. Penelitian ini menggunakan potensiometer 100 K $\Omega$ , yang berguna sebagai pengontrol arus dan tegangan. Pengukuran ini dapat dianggap benar jika nilai arus dan tegangan berbanding terbalik, artinya nilai tegangan maksimum maka nilai arus minimum, namun saat potensiometer diputar maka nilai arus maksimal sedangkan nilai tegangan minimum ataupun sebaliknya. Sehingga akan berada pada titik dengan memiliki nilai arus dan tegangan sama besar, maka akan menghasilkan nilai efisiensi yang tinggi. Pengukuran di Fakultas Sains dan Teknologi Universitas Islam Negeri Alauddin Makassar dengan sumber yang berasal dari matahari. Hasil pengukuran arus dan

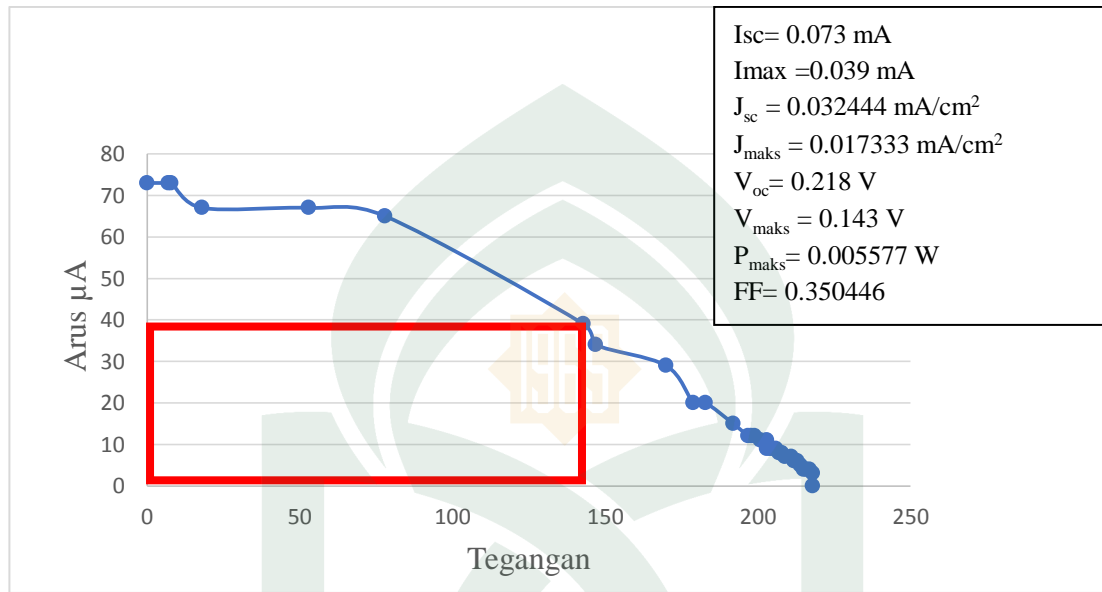
tegangan bertujuan untuk mengetahui nilai efisiensi terhadap DSSC. Nilai arus dan tegangan dapat di lihat pada kurva berikut:



Grafik 4.5: Kurva arus dan tegangan dengan ketebalan TiO<sub>2</sub> 0.11 mm

Grafik 4.5 diatas menunjukkan hasil pengujian nilai arus dan tegangan pada teknologi DSSC yang menggunakan ketebalan TiO<sub>2</sub> 0.011 mm dengan luas permukaan TiO<sub>2</sub> 2.25 cm. Hasil yang diperoleh yakni nilai arus tertinggi ( $I_{sc}$ ) 0.007111  $\mu$ A dan tegangan ( $V_{oc}$ ) tertinggi 0.259 mV sedangkan nilai arus maksimal ( $I_{max}$ ) 0.003556  $\mu$ A dan tegangan maksimum ( $V_{max}$ ) 0.159 mV. Selanjutnya untuk mendapatkan nilai daya maksimum yakni dengan memperkalikan  $I_{max}$  dengan  $V_{max}$  sehingga menghasilkan daya maksimum ( $P_{max}$ ) sebesar 0.001272 W dan memperoleh nilai *Fill Factor* (FF) 0.306. Nilai daya input yang bersumber dari sinar matahari yakni 14.20747  $mW/cm^2$  dan daya ouput sebesar 0.000565  $mW/cm^2$ . Sehingga

menghasilkan nilai efisiensi sebesar 0.003979%. Pengukuran dilakukan pada pukul 9.30-10.10 wita dengan kondisi cuaca cerah.

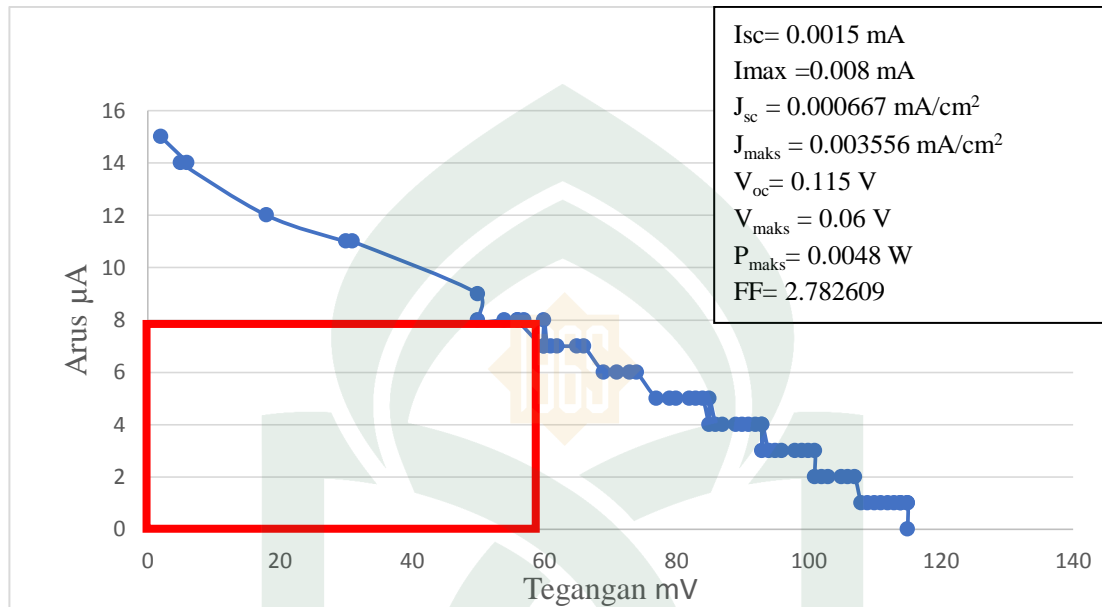


Grafik 4.6: Kurva arus dan tegangan dengan ketebalan TiO<sub>2</sub> 0.15 mm

Hasil pengujian DSSC dengan ketebalan TiO<sub>2</sub> 0.15mm dan luas permukaan TiO<sub>2</sub> 2.25cm dapat dilihat pada grafik 4.6 menunjukkan hasil pengujian nilai arus dan tegangan pada teknologi DSSC. Hasil yang diperoleh yakni nilai arus tertinggi ( $I_{sc}$ ) 0.032444  $\mu$ A dan tegangan ( $V_{oc}$ ) tertinggi 0.218 mV sedangkan nilai arus maksimal ( $I_{max}$ ) 0.017333  $\mu$ A dan tegangan maksimum ( $V_{max}$ ) 0.143 mV. Selanjutnya untuk mendapatkan nilai daya maksimum yakni dengan memperkalikan  $I_{max}$  dengan  $V_{max}$  sehingga menghasilkan daya maksimum ( $P_{max}$ ) sebesar 0.005577 W dan memperoleh nilai *Fill Factor* (FF) 0.365. Nilai daya input yang bersumber dari sinar matahari yakni yakni 14.20747 mW/cm<sup>2</sup> dan daya output sebesar 0.0002479 mW/cm<sup>2</sup>.



Sehingga menghasilkan nilai efisiensi sebesar 0.017446%. Pengukuran dilakukan pada pukul 9.30-10.10 wita dengan kondisi cuaca cerah.



Grafik 4.7: Kurva arus dan tegangan dengan ketebalan TiO<sub>2</sub> 0.2 mm

Hasil pengujian DSSC dengan ketebalan TiO<sub>2</sub> 0.02mm dan luas permukaan TiO<sub>2</sub> 2.25 cm dapat dilihat pada grafik 4.7 menunjukkan hasil pengujian nilai arus dan tegangan pada teknologi DSSC. Hasil yang diperoleh yakni nilai arus tertinggi ( $I_{sc}$ ) 0.015  $\mu$ A dan tegangan ( $V_{oc}$ ) tertinggi 0.115 mV sedangkan nilai arus maksimal ( $I_{max}$ ) 0.008  $\mu$ A dan tegangan maksimum ( $V_{max}$ ) 0.06 mV. Selanjutnya untuk mendapatkan nilai daya maksimum yakni dengan memperkalikan  $I_{max}$  dengan  $V_{max}$  sehingga menghasilkan daya maksimum ( $P_{max}$ ) sebesar 0.0048 W dan memperoleh nilai *Fill Factor* (FF) 0.365. Nilai daya input yang bersumber dari sinar matahari yakni yakni 14.20747 mW/cm<sup>2</sup> dan daya output sebesar 0.000213 mW/cm<sup>2</sup>. Sehingga

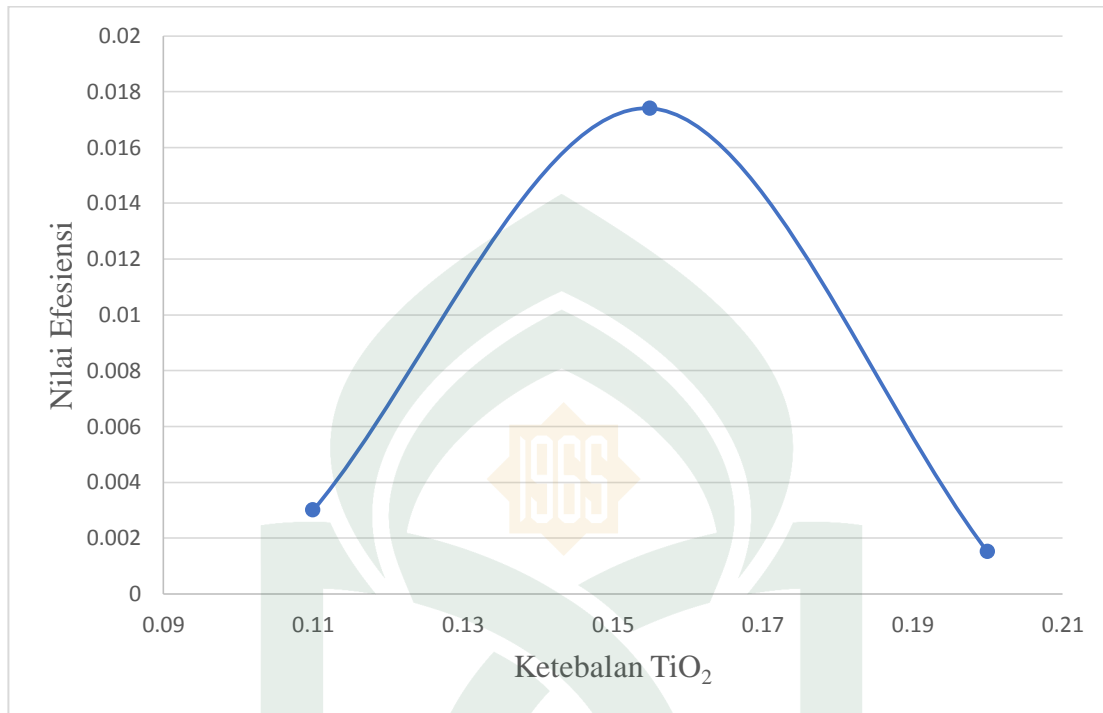
menghasilkan nilai efisiensi sebesar 0.001502%. Pengukuran dilakukan pada pukul 09.30-10.10 wita dengan kondisi cuaca cerah.

Berdasarkan hasil pengukuran DSSC dengan ketebalan yang berbeda, sebagaimana telah deskripsikan, maka untuk lebih jelas dapat dilihat pada tabel berikut:

Tabel 4.4: Hasil perhitungan efisiensi dengan pewarna dari kayu secang dengan ketebalan  $\text{TiO}_2$  yang berbeda.

Ketebalan sampel	$I_{\text{max}}$ ( $\text{mA}/\text{m}^2$ )	$V_{\text{max}}$ (V)	$J_{\text{sc}}$ ( $\text{mA}/\text{m}^2$ )	$V_{\text{oc}}$ (V)	FF	$\eta$ (%)
0.11 mm	0.003556	0.159	0.00711	0.259	0.30699	0.00398
0.155mm	0.017333	0.143	0.03111	0.218	0.36546	0.01745
0.2 mm	0.003556	0.06	0.00067	0.115	2.78157	0.0015

Tabel 4.4 menunjukkan nilai efisiensi yang telah diperoleh pada teknologi DSSC dengan menggunakan ketebalan yang berbeda. Sehingga dapat di analisis nilai efisiensi tertinggi yakni pada ketebalan 0.15 mm dengan nilai efisiensi 0.017446%, nilai ini lebih tinggi di bandingkan nilai yang diperoleh oleh Magaraphan (2013), yang mana memperoleh nilai efisiensi sebesar 0.00654%. Perbedaan ini terjadi, karena perbedaan dalam perendaman pada proses maserasi dan bahan semikonduktor, penelitian ini menggunakan *dye* sampel secang yang direndam selama 24 jam dan bahan semikonduktor  $\text{TiO}_2$  (*Titanium Oxide*), sedangkan yang dilakukan oleh Magaraphan (2013), menggunakan lama perendaman sampel secang pada proses maserasi selama 72 jam dan bahan semikonduktor yang di gunakan yaitu  $\text{ZnO}$  (*Zinc Oxide*). Sehingga nilai efisiensi yang diperoleh dapat dilihat pada grafik berikut:

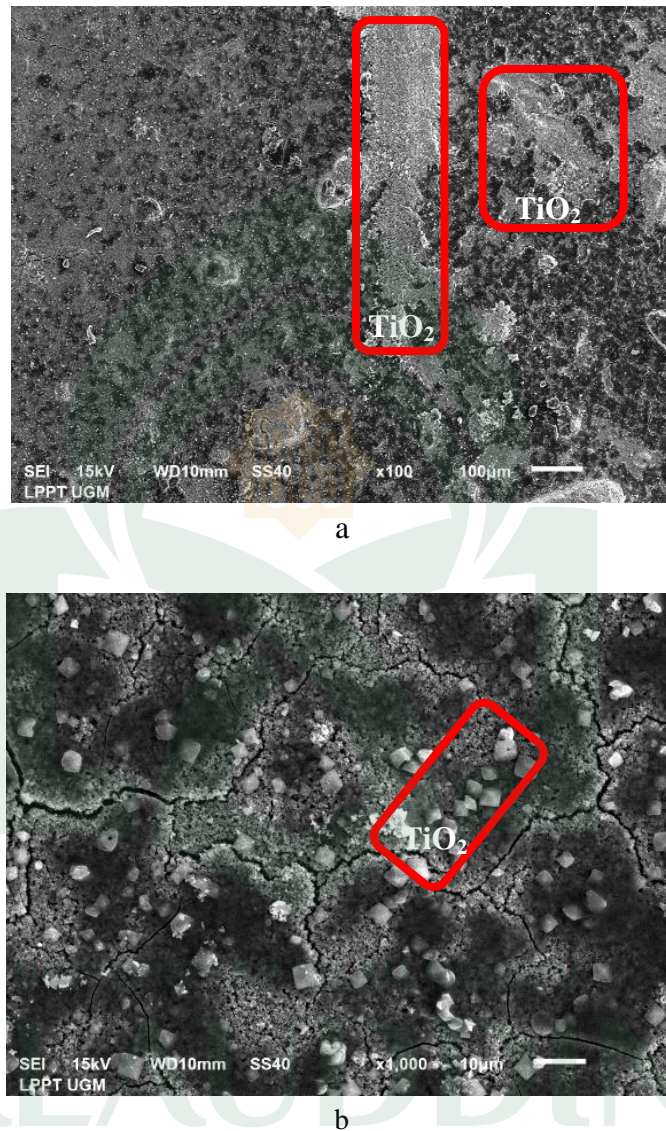


Grafik 4.8: Nilai Efisiensi pada Variasi Ketebalan.

### C. Analisis SEM (*Scanning Electron Microscopy*) lapisan TiO<sub>2</sub> dan Dye

Kerja terakhir pada penelitian ini yaitu uji SEM (*Scanning Electron Microscopy*) dengan tujuan untuk melihat morfologi permukaan pada elektroda kerja. Selain itu mengidentifikasi bentuk struktur dari TiO<sub>2</sub> dan kuantitas *dye* yang menempel pada TiO<sub>2</sub>. Pengujian SEM dilakukan di Universitas Gadjah Mada Yogyakarta. Pembuatan elektroda kerja yang akan dilakukan uji SEM menggunakan proses dan perlakuan yang sama seperti pembuatan elektroda kerja untuk pengujian arus dan tegangan yakni *doping* TiO<sub>2</sub> ke kaca ITO, pembakaran dengan suhu 0 °C - 350 °C selama 30 menit dan perendaman elektroda kerja dengan *dye* yang berasal dari kayu secang (*Caesalpinia Sappan Linn*).

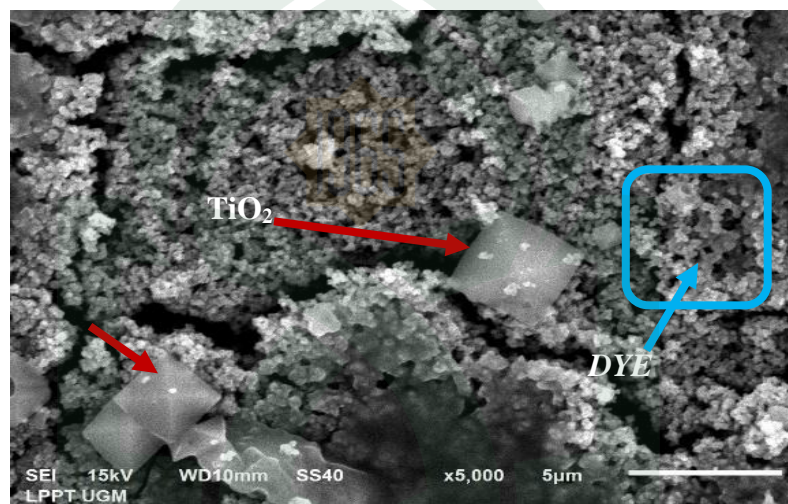
Hasil uji SEM dapat di lihat pada gambar berikut:



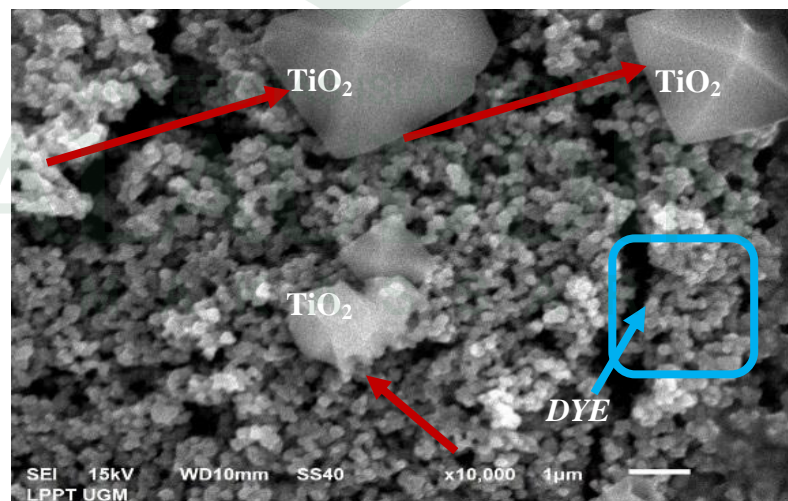
Gambar 4.2: Hasil uji SEM (a) perbesaran 100 µm dan (b) perbesaran 10 µm.

Hasil uji SEM pada gambar 4.2. a dan b menunjukkan penyebaran TiO<sub>2</sub> dan dye. Pada gambar 4.2.a dengan memiliki perbesaran 100 µm menunjukkan penyebaran TiO<sub>2</sub> yang berwarna putih sedangkan dye tinjukkan dengan warna abu-abu dan warna hitam menunjukkan kotoran yang menempel pada sampel. Pada

gambar 4.2.b dengan perbesaran 10  $\mu\text{m}$  menunjukkan bentuk dari  $\text{TiO}_2$  yang lebih besar dibandingkan dengan *dye*. Dari gambar 4.2. a dan b menunjukkan hasil tersebut dapat diduga penyebaran  $\text{TiO}_2$  tidak merata sehingga sangat berpengaruh pada efisiensi DSSC. Pada gambar selanjutnya terdapat perbesaran yang lebih besar, dapat dilihat pada gambar berikut:



c



d

Gambar 4.3: Hasil uji SEM (c) dengan perbesaran 5  $\mu\text{m}$  dan (d) perbesaran 1  $\mu\text{m}$

Hasil uji SEM pada gambar 4.3. c dan d menunjukkan bentuk partikel  $\text{TiO}_2$  dan kuantitas dari *dye*. Hasil SEM pada gambar 4.3.c pada perbesaran  $5 \mu\text{m}$  sedangkan gambar 4.3.d dengan perbesaran  $1 \mu\text{m}$  menghasilkan bentuk dari  $\text{TiO}_2$ , sehingga bentuk tersebut dapat diidentifikasi bahwa bahan semikonduktor yang berasal dari  $\text{TiO}_2$  berubah dari bentuk tidak teratur menjadi kristal (amorf menjadi kristal). Hal ini disebabkan karena suhu pembakaran sangat mempengaruhi aktifitas cell surya sebagai mana yang dilakukan oleh Akbar dan Susanti (2013), yang menggunakan pembakaran  $500^\circ\text{C}$ ,  $550^\circ\text{C}$  dan  $600^\circ\text{C}$ . Sehingga dari hasil penelitian menunjukkan bentuk struktur dari  $\text{TiO}_2$  dan kuantitas *dye* yang melekat pada  $\text{TiO}_2$  yang menjadi faktor yang mempengaruhi nilai efisiensi DSSC.

## **BAB V**

### **KESIMPULAN DAN SARAN**

#### **A. Kesimpulan**

Kesimpulan yang dapat diperoleh dari penelitian ini adalah sebagai berikut:

1. Hasil uji UV-Vis menunjukkan nilai absorbansi dan panjang gelombang pada sampel secang (*Caesalpinia Sappan Linn*) dengan perendaman selama 20 menit, 24 jam dan 48 jam. Hasil analisa pada perendaman 20 menit, 24 jam dan 48 jam memperoleh nilai absorbansi tertinggi 1.653, 2.83 dan 0.009 pada panjang gelombang 444.5, 444.5 dan 709 nm. Dengan demikian nilai absorbansi tertinggi 2.83 akan digunakan untuk perendaman elektroda kerja.
2. Berdasarkan hasil pengukuran dan analisis, dengan menggunakan 3 ketebalan TiO<sub>2</sub> yang berbeda menghasilkan nilai efisiensi sebagai berikut: dengan ketebalan 0.11, 0.15 dan 0.2 mm dengan nilai efisiensi 0.003979, 0.017446 dan 0.001502%. maka nilai efisiensi tertinggi ialah 0.017446% dengan ketebalan 0.15mm.

#### **B. Kesimpulan**

Saran penulis terhadap peneliti selanjutnya yakni sebagai berikut:

1. Dalam doping TiO<sub>2</sub> pada kaca ITO sebaiknya menggunakan metode spin coating dibandingkan doctor blade terkhusus paada penelitian yang menggunakan variasi ketebalan TiO<sub>2</sub> yang berbeda.
2. Dalam penelitian selanjutnya sebaiknya dalam pembuatan elektrolit menggunakan bahan KI dan I<sub>2</sub> yang berbentuk padatan.

## DAFTAR PUSATAKA

- Aisyah., Putri, K. A., & Ilyas, A. (2017). Pengaruh Kandungan Senyawa pada Ekstrak Daun Ketapang n-Heksan, Etil Asetat, Metanol dan Campuran Terhadap Nilai Efisiensi Dye Sensitized Solar Cell ( DSSC ), 5, 170–180
- Buraidah, M. H., Teo, L. P., Yusuf, S. N. F., Noor, M. M., Kufian, M. Z., Careem, M. A., Arof, A. K. (2011). *TiO<sub>2</sub>/chitosan-NH<sub>4</sub>I(+I<sub>2</sub>)-BMII-based dye-sensitized solar cells with anthocyanin dyes extracted from black rice and red cabbage*. International Journal of Photoenergi, 2011.
- Dahlan, D., dan Fahyuan, D. (2014). *Jurnal Sains Materi Indonesia EFISIENSI SEL SURYA DYE SENSITIZED SOLAR CELL*, 15(2), 74–79.
- Dr. Abdullah bin Muhammad Abu Syaikh. 2008. *Tafsir Ibnu Katsir Jilid 5*. Jakarta: Pustaka Imam Asy Syafii
- Grätzel, M. (2003). *Dye-sensitized solar cells*. *Journal of Photochemistry and Photobiology C: Photochemistry Reviews*, 4(2): 145–153.
- Hadi, Syamsul. 2016. *Teknologi Bahan*. Yogyakarta: Penerbit ANDI
- Hadioper, A., dkk. 2008. *Organic tandem and multijunction solar cell. J of advance functional material*. Willey interscience.
- Hao, S.; Wu, J.; Fan, L.; Huang, Y.; Lin, J.; Wei, Y. 2004. *The influence of acid treatment of TiO<sub>2</sub> porous film electrode on photoelectric performance of dye-sensitized solar cell*. *Solar Energi*, 76, 745–750.
- Hardeli, dkk. 2013. *Dye Sensitized Solar Cell (DSSC) Berbasis Nanopori TiO<sub>2</sub> Menggunakan Antosianin Dari Berbagai Sumber Alami*. Padang: FMIPA Universitas Lampung. Prosiding Semirata FMIPA Universitas Lampung.
- Henni, dkk. 2012. *Studi Awal Fabrikasi Dye Sensitized Solar Cell(DSSC) Menggunakan Ekstraksi Bunga Sepatu(Hibiscus Rosa Sinensis L) Sebagai Dye Sensitized Dengan Variasi Lama Absorpsi Dye*. Surabaya: Institut Teknologi Sepuluh November.
- Holinesti, Rahmi. 2007. *Studi Pemanfaatan Pigmen Brazilen bahan secang (Caesalpinia sappan L) sebagai pewarna alami serta Stabilitasnya pada Model pangan*. Bogor. Sekolah Pascasarjana Institut Pertanian Bogor. International



- Energi Agency. *Renewables for Heating and Cooling*. (Diakses 10 september 2018)
- Jaelani, A. (2017). *M P RA Renewable energi policy in Indonesia: Scientific signs of the Qur'an and its implementation in Islamic economics*.
- Kay, A. dan Gratzel, M. 1996. *Low Cost Photovoltaic Modules Based On Dye Sensitized Nanocrystalline Titanium Dioxide and Carbon Powder*. *Solar Energi Materials dan Solar Cell*, 44, 99-117.
- Kementrian Agama RI. 2013. *Al-Qur'an dan Terjemahnya*. Diponegoro Bandung
- Kementrian Energi dan Sumber Daya Mineral, 2008.
- Khoiruddin. 2012. *Ekstrak Beta Karoten Wortel (Daucus Carota) Sebagai Dye Sensitizer pada DSSC*. Skripsi Jurusan Sains Fisika. Surakarta: FMIPA UNS.
- Khopkhar S.M. 2003. *Konsep Dasar Kimia Analitik*. Jakarta: UI-Press
- Kumari, J. M. K. W., Sanjeevadarshini, N., dan Dissanayake, M. A. K. L. (2016). *The effect of TiO<sub>2</sub> photoanode film thickness on photovoltaic properties of dye-sensitized solar cells*, 45(1), 33–41.
- Kumari, J. M. K. W., Sanjeevadarshini, N., dan Dissanayake, M. A. K. L. (2016). *The effect of TiO<sub>2</sub> photoanode film thickness on photovoltaic properties of dye-sensitized solar cells*, 45(1), 33–41.
- Landuma, S., Haryanto, D. A., dan Purwanto, A. (2015). *Application Of Sappan Wood (Caesalpinia Sappan Linn) as Sensitizer for Dye-sensitized Solar Cell ( DSSC)*, 109.
- Latifatuz, Zid, dkk. 2015. *Ekstrak Buah Murbei (Morus) Sebagai Sensitizer Alami Dye Sensitized Solar Cell (DSSC) Menggunakan Substrat Kaca ITO Dengan Teknik Pelapisan Spin Coating*. Surabaya: Institut Teknologi Sepuluh November.
- Maddu, Akhiruddin, dkk. 2007. *Penggunaan Ekstrak Antosianin Kol Merah Sebagai Fotosensitizer Pada Sel Surya TiO<sub>2</sub> Nanokristal Tersensitisasi Dye*. Bogor: Institut Pertanian Bogor. Makara, Teknologi, Vol. 11, No 2.
- Magaraphan, R., dan Joothamongkhon, J. (2013). *Performance of Dye-Sensitized Solar Cells Using ZnO-Natural Dyes from Sappan Wood , Noni Leaves , Safflower and Black Rice*, 658, 25–29.

- Manan Saiiful (2013). *Energi Matahari Sumber Energi Alternatif Yang Efisien, Handal dan Ramah Lingkungan Di Indonesia*. (Diponegoro: Fakultas Teknik Universitas Diponegoro). Jurnal Program Diploma III Teknik Elektro. Hal: 31.
- Manan, S. 2009. *Energi Matahari Sumber Energi Alternatif Yang Efisien, Handal Dan Ramah Lingkungan Di Indonesia*. Semarang: Program Diploma III Teknik Elektro, Fakultas Teknik, Universitas Diponegoro.
- Mujiyanto, Drs. Januarius. 2000. *Jendela Iptek Energi*. Jakarta: Balai Pustaka
- Nelwadani, N. 2013. *Analisis nilai Absorbansi dalam Penentuan Kadar Flavonoid untuk berbagai jenis daun Tanaman Obat*. J Pillar Physics. 2(1).
- Nygren, K. 2010. *Solar Cel Based Synthesized Nanocrystalline Zno Thin Films Sensitized by Chlorophyll a Andphotopigments Isolated from Spinach*. Master's Thesis. Swedia: Linkoping University.
- O'Regan, B., dan Grätzel, M. (1991). *A low-cost, high-efficiency solar cell based on dye-sensitized colloidal TiO<sub>2</sub> films*. *Nature*, 353(6346), 737–740.
- Parija, B., dan Panigrahi, S. (2009). *Fundamental understanding and modeling of spin coating process* : A review, 83, 493–502
- Prasatya Akbar Nur dan Diah Susanti. 2013. *Pengaruh Temperatur Kalsinasi pada Kaca FTO yang di-coating ZnO terhadap Efisiensi DSSC (Dye Sensitized Solar Cell) yang menggunakan Dye dari buah Tarung Belanda (Solanum Betaceum)*. Surabaya: Institut Teknologi Sepuluh November. Jurnal Teknik POMITS Vol. 2, No. 2.
- Purwanto, Romli Dan Prajitno, Gontjang. 2013. *Variasi Kecepatan Dan Waktu Pemutaran Spin Coating Dalam Pelapisan TiO<sub>2</sub> Untuk Pembuatan Dan Karakterisasi Prototipe DSSC Dengan Ekstrak Kulit Manggis (Garcinia Mangostana) Sebagai Dye Sensitizer*. Surabaya: Institut Teknologi Sepuluh November.
- Putri, Umasari Sihmentari., Ana Hidayati Mukharomah., Ayu Rahmawati S. (2018). *Pengaruh Konsentrasi Pelarut Etanol terhadap Absorbansi Brazilin pada Simlisia Kayu Secang (Caesalpinia sappan L)*. Semarang: Universitas Muhammadiyah Semarang. Prosiding Seminar Nasional Mahasiswa Unimus Vol. 1.
- Quaschnig, Volker. *Understanding Renewable Energi Systems*. London, Sterling,

- Rina, Oktaf. (2013). *Identifikasi Senyawa Aktif dalam Ekstrak Etanol kayu Secang (Caesalpinia Sappan Linn)*. Lampung: Univesitas Lampung. Prosiding Semirata FMIPA Universitas Lampung.
- Ruhane, T. A., Islam, M. T., Rahaman, S., Bhuiyan, M. M. H., Islam, J. M. M., Bhuiyan, T. I., ... Khan, M. A. (2017). *Impact of photo electrode thickness and annealing temperature on natural dye sensitized solar cell*. *Sustainable Energi Technologies and Assessments*, 20, 72–77.
- Sedghi, A., dan Miankushki, H. N. (2015). *The Effect of Drying and Thickness of TiO<sub>2</sub> 2 Electrodes on the Photovoltaic Performance of Dye-Sensitized Solar Cells*, 10, 3354–3362.
- Seran, emel. 2011. *Spektrofotometri sinar tampak (visible)*. <http://wanibesak.wordpress.com/author/wanibesak/>. (Diakses 25 September 2018).
- Shihab, Quraish, M. 2002. *Tafsir Al-Misbah Pesan, Kesan Dan Keserasian Al-Quran*. Jakarta: lentera hati.
- Smestad, G. P., dan Gratzel, M. (1998). *Demonstrating Electron Transfer and Nanotechnology: A Natural Dye-Sensitized Nanocrystalline Energi Converter*. *Journal of Chemical Education*, 75(6), 752.
- Vitriyani Ekasari dan Gatut Yudoyono. 2013. *Fabrikasi DSSC Dengan Ekstrak Jahe Merah (Zingiber Officinale Lin Var. Rubrum) Variasi Larutan TiO<sub>2</sub> Nanopartikel Berfase Anatase dengan Teknik Pelapisan Spin Coating*. Surabaya: Institut Teknologi Sepuluh November. *Jurnal sains dan seni POMITS 2*, (1).
- Wong, Song. 2007. *TiO<sub>2</sub> Film Prepared by Micro-Plasma Oxidation Method for Dye Sensitized Solar Cell*. *Eletrochimia Acta* 53.
- Yudha, S.W. (2017), *Pemerintah perlu mengoptimalkan pemanfaatan energi baru terbarukan*. Yogyakarta: Humas UGM. April 26, 2017. Available from: <https://ugm.ac.id/id/news/13754/>
- Yulianto, B. 2006. “*Energi Surya: Alternatif Sumber Energi Masa Depan Indonesia*”. *Berita Iptek*. (<http://www.indeni.org>). (Diakses 15 September 2018).
- Zamrani, dkk. 2013. *Pembuatan Dan Karakterisasi Prototipe Dye Sensitized Solar Cell(DSSC) Menggunakan Ekstraksi Kulit Buah Manggis Sebagai Dye Sensitizer Dengan Metode Doctor Balde*. Surabaya: Institut Teknologi Sepuluh November. *Jurnal sains dan seni POMITS 1*, (2).

Zamrani, R. A., dan Prajitno, G. (2013). *Pembuatan Dan Karakterisasi Prototipe Dye Sensitized Solar Cell ( DSSC ) Menggunakan Ekstraksi Kulit Buah Manggis Sebagai Dye Sensitizer Dengan Metode Doctor Blade*, 1(2), 2–7.

Zamrani, R. A., dan Prajitno, G. (2013). *Pembuatan Dan Karakterisasi Prototipe Dye Sensitized Solar Cell ( DSSC ) Menggunakan Ekstraksi Kulit Buah Manggis Sebagai Dye Sensitizer Dengan Metode Doctor Blade*, 1(2), 2–7.



### Jadwal Penelitian

Penelitian ini akan dilaksanakan pada jadwal sebagai berikut:

No	Jenis Kegiatan	Oktober				November				Desember				Januari				Febuari				Tempat
		1	2	3	4	1	2	3	4	1	2	3	4	1	2	3	4	1	2	3	4	
1	Persiapan Alat dan Bahan	■	■	■	■																	1. Lab. Fisika Modern FST
2	Ekstraksi Bahan	■	■	■	■																	2. Lab Riset Kimia FST
3	Persiapan Ekstrak	■	■	■	■																	3. Lab Kimia Dasar Unhas
4	Uji UV-Vis	■	■	■	■																	
5	Pembuatan bubuk TiO <sub>2</sub>					■	■	■	■	■	■	■	■									1. Lab. Fisika Modern FST
6	Pengukuran Resistansi pada kaca ITO					■	■	■	■	■	■	■	■									
7	Doping TiO <sub>2</sub> dan karbon pada masing-masing kaca ITO					■	■	■	■	■	■	■	■									
8	Sintering dan Perendaman terhadap Kaca ITO + TiO <sub>2</sub>					■	■	■	■	■	■	■	■									
9	Penyusunan Berger DSSC					■	■	■	■	■	■	■	■									
10	Penetesan Larutan Elektrolit					■	■	■	■	■	■	■	■									
11	Pengujian DSSC					■	■	■	■	■	■	■	■									
12	Pengambilan Data					■	■	■	■	■	■	■	■									
13	Uji SEM-EDX													■	■	■	■					
14	Olah Data													■	■	■	■					1. Lab. Fisika Modern FST
15	Penyusunan Laporan																	■	■			



### RIWAYAT HIDUP

Penulis bernama Achmad Nasyori, lahir di Jakarta pada hari Jumat, tanggal 14 Febuari 1997 (6 Jumadil Akhir 1417 H). Alhamdulillah penulis di lahirkan dari kedua orang tua yang beragama islam, dengan nama ayah Gunawan dan Ibu Nina Hartati. Penulis anak tiga dari empat bersaudara, yaitu Fitri Nur Atikah, Indah, Achmad Nasyori

dan Dhani Muhammad Ramadhan.

Penulis menempuh pendidikan sekolah dasar di SDN 02 Jakarta SDN 05 Bandar Lampung, melanjutkan di SMP 02, SMP Yapiguna (Lampung Selatan) dan MTS Darul Funun El-Abbasiyah Sumatra Barat, melanjutkan MA di Darul Funun El-Abbasiyah Sumatra Barat dan pada tahun September 2015 penulis melanjutkan pendidikan S1 di Jurusan Fisika Fakultas Sains dan Teknologi Universitas Islam Negeri Alauddin Makassar. Allamdulillah Allah mempermudah segala urusan penulis dari awal masuk hingga akhir masa akademik, sehingga berhasil menyelesaikan tugas akhir dengan judul **“Pengaruh Ketebalan  $TiO_2$  terhadap Nilai Efisiensi DSSC (*Dye Sensitized Solar Cell*) dengan menggunakan pewaran dari bahan secang (*Caesalpinia Sappan Linn*)**. Selama menjadi mahasiswa penulis telah meraih beberapa penghargaan seperti Juara II lomba karya tulis Ilmiah jurusan Fisika 2015, 10 Karya terbaik dalam kegiatan LKTI di Universitas Andalas Padang 2016, Delegasi UIN dalam kegiatan Lombok Youth Camp di Nusatenggara Barat 2017/2018, pemakalah Di Universitas Hasanuddin

2018 dan Juara 3 lomba karya Tulis Ilmiah di Universitas Gadjah Mada Yogyakarta 2018. Allamdulillah selama kuliah penulis mendapatkan beasiswa dari berbagai pihak seperti Beasiswa Gubernur Sumatra barat, Beasiswa Depag, Beasiswa Rektor UIN Alauddin dan Beasiswa kampung. Penulis juga meminta doa kepada pembaca semoga Allah memperkuat penulis untuk menjadi serorang ulama yang paham dengan ilmu science.





# LAMPIRAN-LAMPIRAN

UNIVERSITAS ISLAM NEGERI  
**ALAUDDIN**  
M A K A S S A R



LAMPIRAN 1  
PEMBUATAN EKTRAKSI  
SAMPEL, ELEKTRODA  
KERJA, ELEKTRODA  
PEMBANDING DAN  
ELEKTROLIT

UNIVERSITAS MUHAMMADIYAH  
ALAUDDIN  
MAKASSAR

## LAMPIRAN I (EKSTRAKSI BAHAN)

### 1. Pengambilan sampel dan proses ekstraksi



Gambar L.1: Observasi Sampel



Gambar L.2: Sampel telah dihaluskan



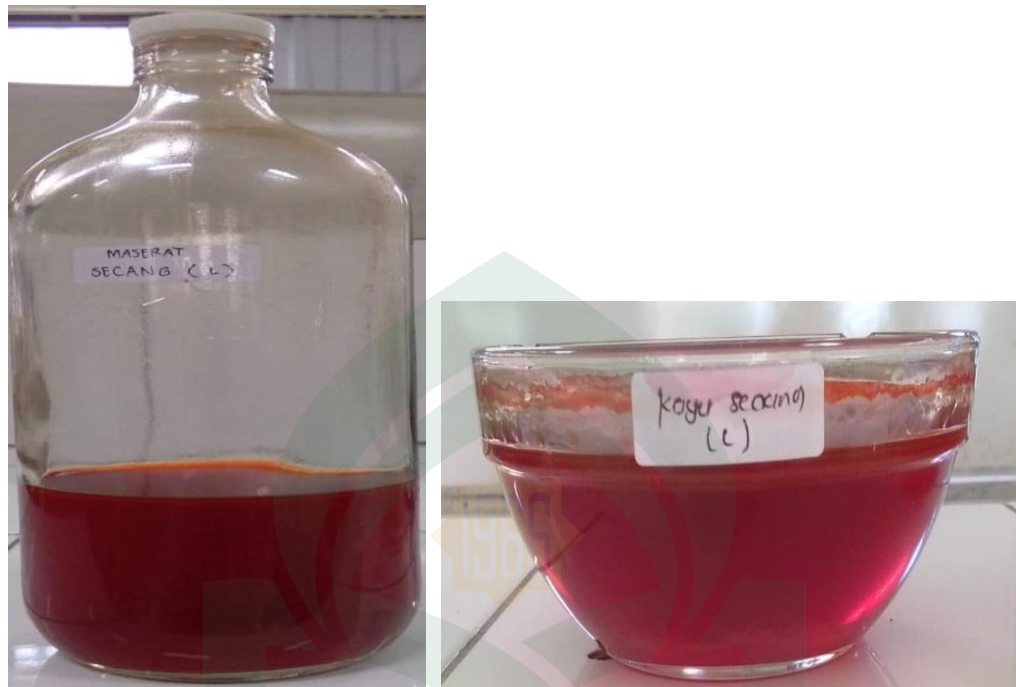
Gambar L.3: Sampel telah dihaluskn



Gambar L4: Proses Mesarasi Ekstrak Kayu Secang



Gambar L5: Proses penyaringan sampel secang



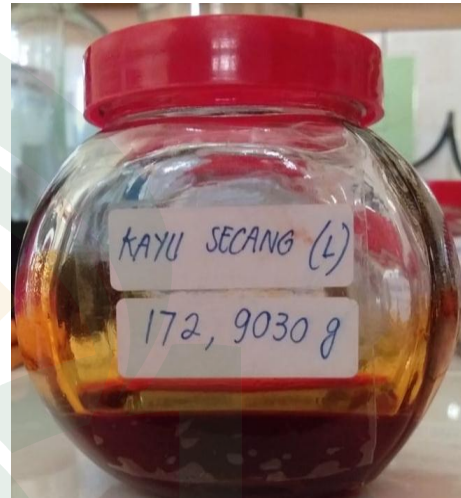
Gambar L.6: Hasil Proses Maserat



Gambar L.7: Hasil Proses Evaporasi dengan alat evaporator



Gambar L.8: Lemari asam



Gambar L.9: Ekstrak kayu secang



Gambar L.10: Sampel secang untuk Uji UV-VIS



Gambar L.11: Pengenceran 100 kali sampel secang dan Uji UV-Vis

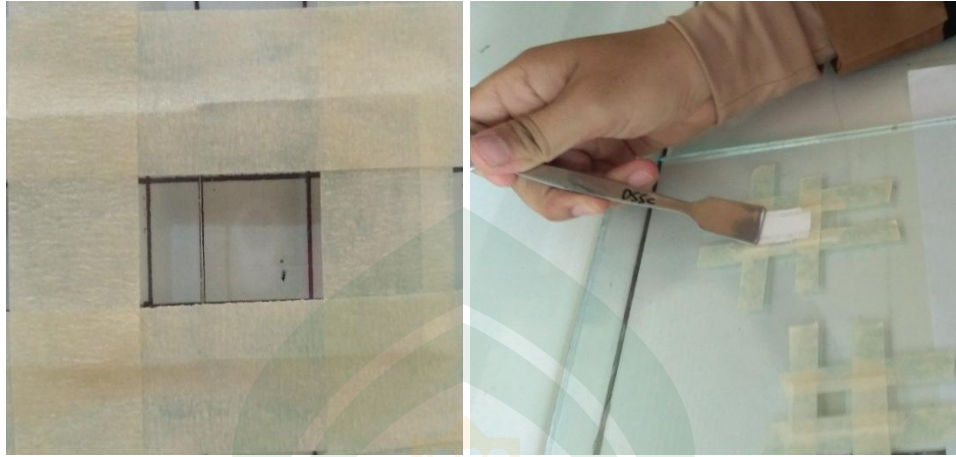
2. Pembuatan elektroda kerja, elektroda pembanding dan elektrolit



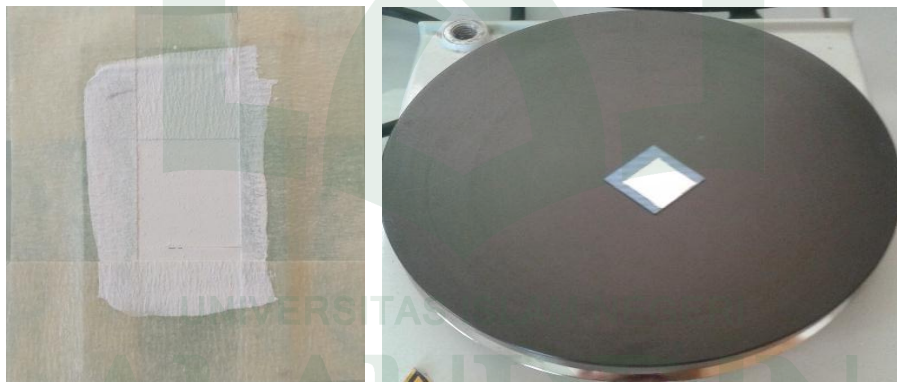
Gambar L.12: Menggerus Titanium Oxide ( $\text{TiO}_2$ )



Gambar L.13: Meninjau Resistansi Kaca ITO

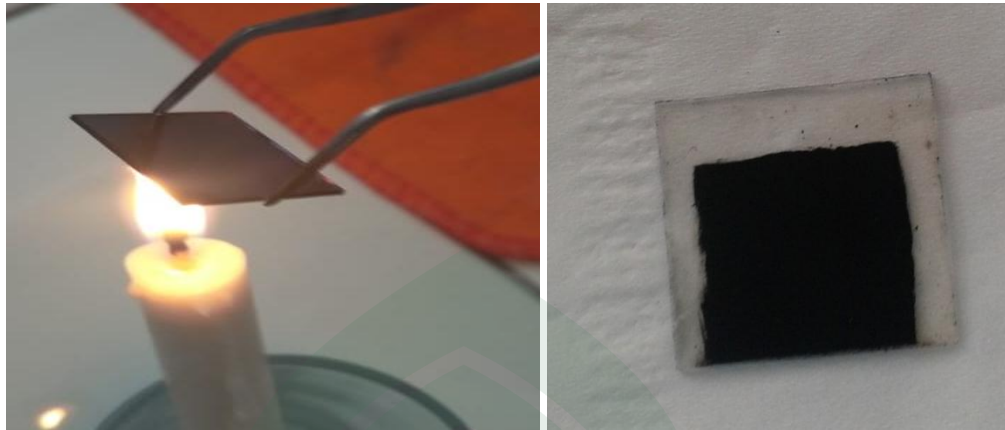


Gambar L.14: Pemasangan Solatip dan doping  $\text{TiO}_2$

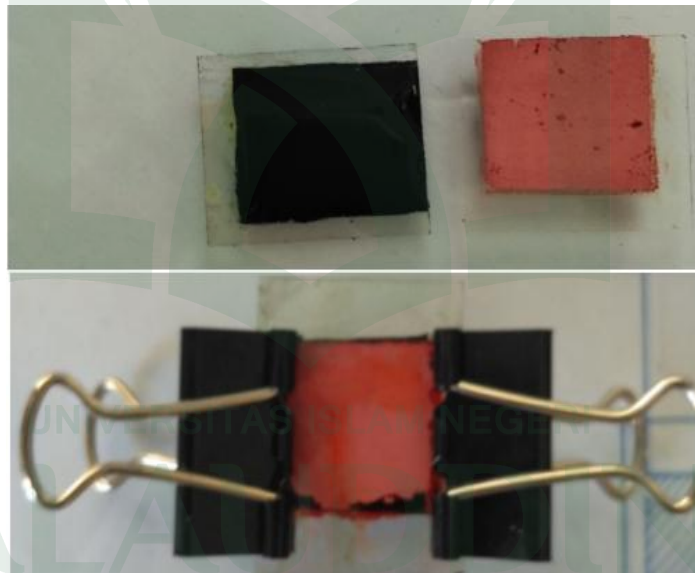


Gambar L.15: Doping  $\text{TiO}_2$  dan sintering  $\text{TiO}_2\text{a}$

M A K A S S A R



Gambar L.16: Pembuatan elektroda pembanding, dengan carbon yang berasal dari pembakaran kaca ITO dengan lilin.



Gambar L.17: Elektroda kerja dan elektroda pembanding





Gambar L.18:  $I_2$  (Iodida) dan KI (Kalium Iodida)



Gambar L.19: Pengukuran

LAMPIRAN 1  
HASIL UJI UV-VIS,  
PENGKURAN ARUS DAN  
TEGANGAN DAN SEM  
(ELECTRON SCANNING  
MICROSCOPY)

ALAUDDIN  
M A K A S S A R

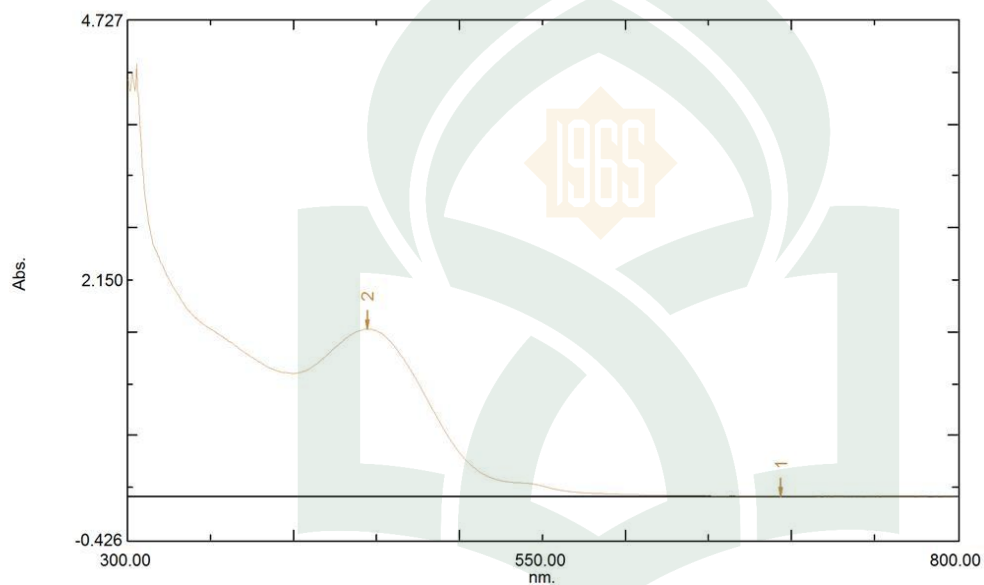
## Hasil Pengujian (UV-Vis dan SEM) dan Pengukuran (Arus dan Tegangan)

### 1. Hasil Pengujian UV-Vis

#### Spectrum Peak Pick Report

08/21/2018 10:14:41 AM

Data Set: Secang (L) kurang dari 24 jam p 100x.spc - RawData



[Measurement Properties]  
 Wavelength Range (nm.): 300.00 to 800.00  
 Scan Speed: Medium  
 Sampling Interval: 0.5  
 Auto Sampling Interval: Enabled  
 Scan Mode: Single

No.	P/V	Wavelength n	Abs.	Description
1	●	693.50	0.008	
2	●	444.50	1.663	

[Instrument Properties]  
 Instrument Type: UV-2600 Series  
 Measuring Mode: Absorbance  
 Slit Width: 0.2  
 Accumulation time: 0.2 sec.  
 Light Source Change Wavelength: 323.0 nm  
 Detector Unit: Direct  
 S/R Exchange: Normal  
 Stair Correction: OFF

[Attachment Properties]  
 Attachment: None

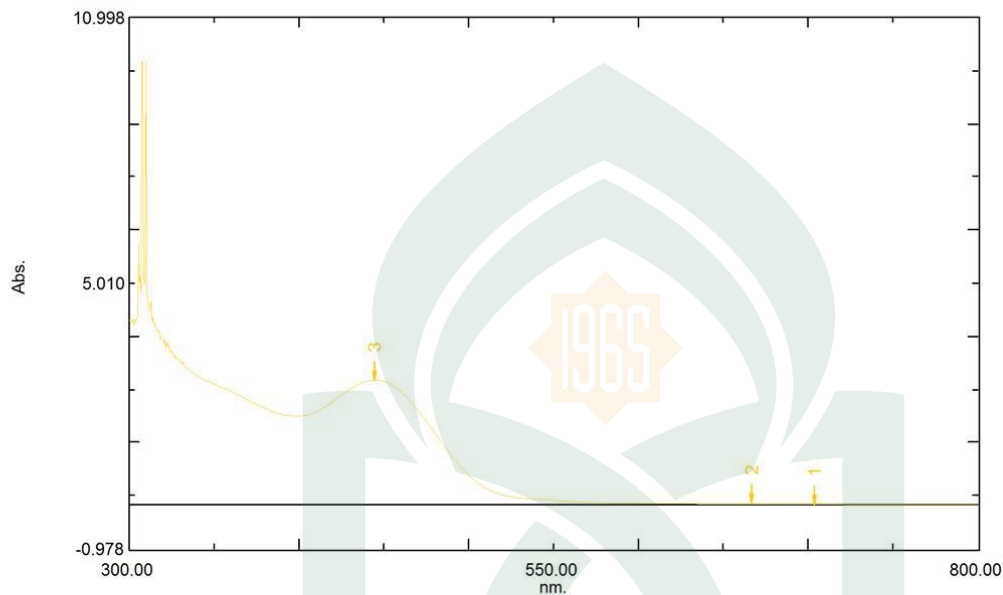
[Operation]  
 Threshold: 0.0010000  
 Points: 4  
 InterPolate: Disabled  
 Average: Disabled

[Sample Preparation Properties]  
 Weight:  
 Volume:  
 Dilution:  
 Path Length:  
 Additional Information:

# Spectrum Peak Pick Report

08/21/2018 10:19:08 AM

Data Set: Secang (L) 24 jam p 100x.spc - RawData



[Measurement Properties]  
 Wavelength Range (nm.): 300.00 to 800.00  
 Scan Speed: Medium  
 Sampling Interval: 0.5  
 Auto Sampling Interval: Enabled  
 Scan Mode: Single

No.	P/V	Wavelength n	Abs.	Description
1	①	703.50	0.029	
2	②	667.00	0.034	
3	③	444.50	2.830	

[Instrument Properties]  
 Instrument Type: UV-2600 Series  
 Measuring Mode: Absorbance  
 Slit Width: 0.2  
 Accumulation time: 0.2 sec.  
 Light Source Change Wavelength: 323.0 nm  
 Detector Unit: Direct  
 S/R Exchange: Normal  
 Stair Correction: OFF

[Attachment Properties]  
 Attachment: None

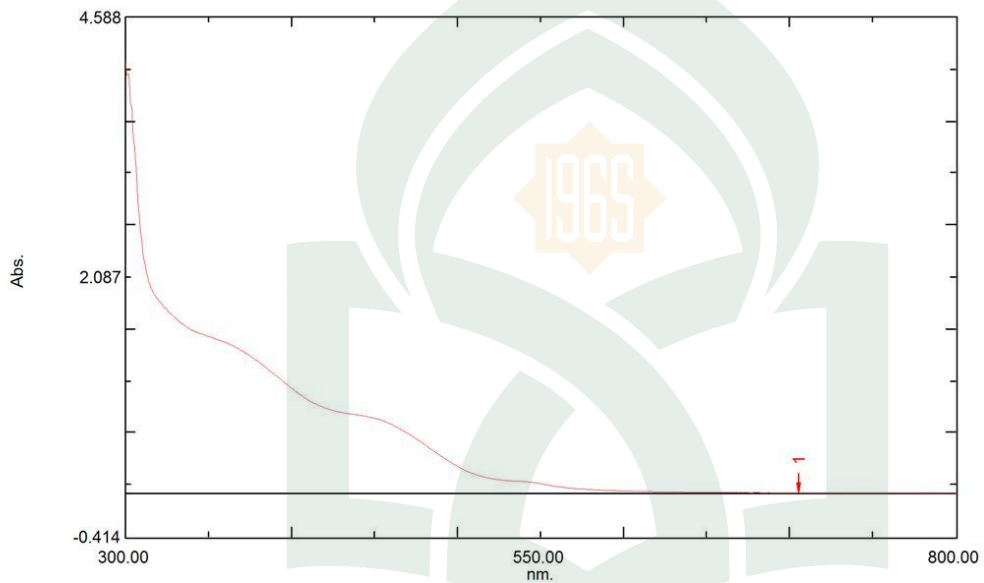
[Operation]  
 Threshold: 0.0010000  
 Points: 4  
 InterPolate: Disabled  
 Average: Disabled

[Sample Preparation Properties]  
 Weight:  
 Volume:  
 Dilution:  
 Path Length:  
 Additional Information:

## Spectrum Peak Pick Report

08/21/2018 10:23:30 AM

Data Set: Secang (L) lebih dari 24 jam p 100x.spc - RawData



[Measurement Properties]  
 Wavelength Range (nm.): 300.00 to 800.00  
 Scan Speed: Medium  
 Sampling Interval: 0.5  
 Auto Sampling Interval: Enabled  
 Scan Mode: Single

No.	P/V	Wavelength n	Abs.	Description
1	●	706.00	0.009	

[Instrument Properties]  
 Instrument Type: UV-2600 Series  
 Measuring Mode: Absorbance  
 Slit Width: 0.2  
 Accumulation time: 0.2 sec.  
 Light Source Change Wavelength: 323.0 nm  
 Detector Unit: Direct  
 S/R Exchange: Normal  
 Stair Correction: OFF

[Attachment Properties]  
 Attachment: None

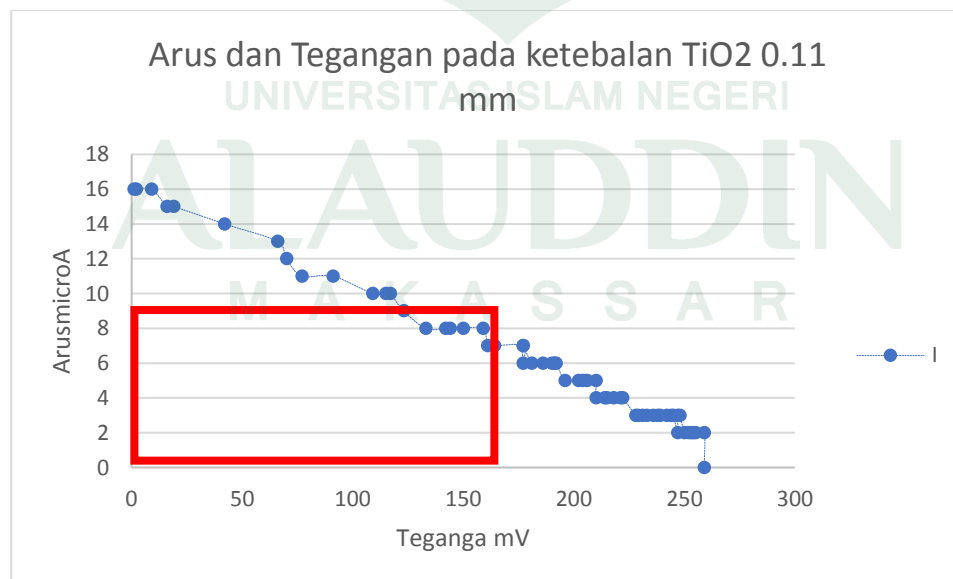
[Operation]  
 Threshold: 0.0010000  
 Points: 4  
 InterPolate: Disabled  
 Average: Disabled

[Sample Preparation Properties]  
 Weight:  
 Volume:  
 Dilution:  
 Path Length:  
 Additional Information:

## 2. Hasil pengukuran arus dan tegangan.

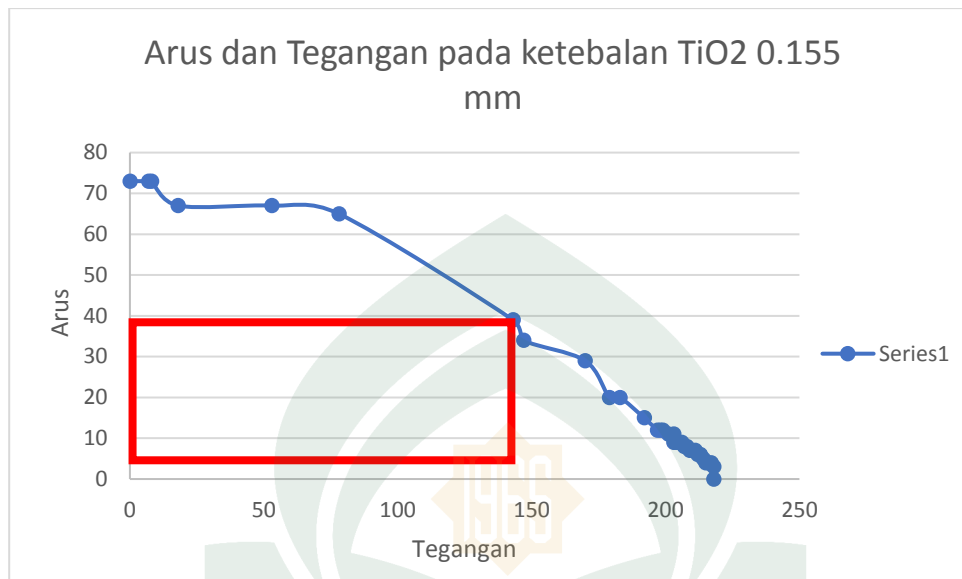
V	I	V*I
259	0	0
259	2	518
255	2	510
254	2	508
253	2	506
252	2	504
250	2	500
248	3	744
247	3	741
247	2	494
245	3	735
244	3	732
242	3	726
239	3	717
238	3	714
236	3	708
233	3	699
231	3	693
229	3	687
228	3	684
222	4	888
221	4	884
218	4	872
215	4	860
214	4	856
210	4	840
210	5	1050
206	5	1030
204	5	1020
202	5	1010
196	5	980
192	6	1152
191	6	1146
190	6	1140
186	6	1116
181	6	1086
177	7	1239
177	6	1062

177	7	1239
164	7	1148
164	7	1148
161	7	1127
159	8	1272
150	8	1200
144	8	1152
142	8	1136
133	8	1064
123	9	1107
117	10	1170
115	10	1150
109	10	1090
91	11	1001
77	11	847
70	12	840
66	13	858
42	14	588
19	15	285
16	15	240
9	16	144
2	16	32
1	16	16
		1272



V	A	
218	0	
218	3	654
217	4	868
216	4	864
215	4	860
214	5	1070
213	6	1278
212	6	1272
211	7	1477
209	7	1463
208	8	1664
207	8	1656
206	9	1854
205	9	1845
204	9	1836
203	9	1827
203	11	2233
201	11	2211
199	12	2388
198	12	2376
197	12	2364
192	15	2880
183	20	3660
179	20	3580
170	29	4930
147	34	4998
143	39	5577
78	65	5070
53	67	3551
18	67	1206
8	73	584
7	73	511
0	73	0
		5577

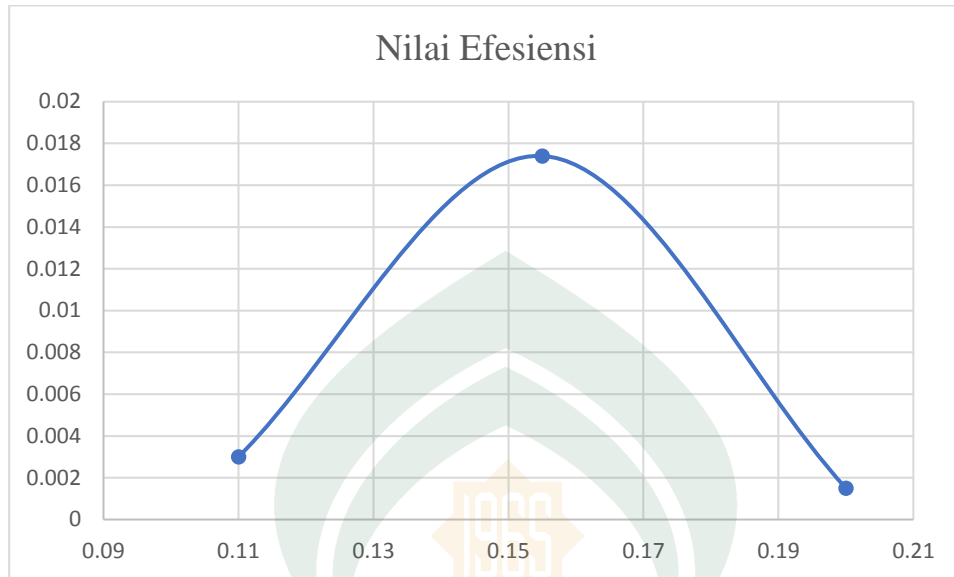




V	I	
0	15	0
2	15	30
6	14	84
5	14	70
18	12	216
30	11	330
31	11	341
50	9	450
50	8	400
54	8	432
56	8	448
57	8	456
56	8	448
60	7	420
60	8	480
60	7	420
62	7	434
61	7	427

65	7	455
66	7	462
69	6	414
71	6	426
73	6	438
74	6	444
77	5	385
79	5	395
80	5	400
82	5	410
83	5	415
84	5	420
85	4	340
85	5	425
86	4	344
87	4	348
89	4	356
90	4	360
91	4	364
92	4	368
93	4	372
93	3	279
93	4	372
94	3	282
95	3	285
96	3	288
98	3	294
99	3	297
100	3	300
101	3	303
101	2	202
102	2	204
103	2	206
105	2	210
106	2	212
107	2	214
108	1	108
109	1	109





### 3. Perhitungan Nilai DSSC

SAMPEL		Imax		Vmax	Isc		Vsc	FF	Pin	Put	N
0.11mm	H1	0.008	0.003556	0.159	0.016	0.007111	0.259	0.30695	14.20747	0.000565	0.003979
0.155mm	H1	0.039	0.017333	0.143	0.07	0.031111	218	0.000365	14.20747	0.002479	0.017446
0.2mm	H1	0.008	0.003556	0.06	0.0015	0.000667	115	0.002783	14.20747	0.000213	0.001502
2.25											

Perhitungan:

- a. Perhitungan Efisiensi Pada Ketebalan 0.11 mm.

Diketahui:

$$V_{maks} = 0.159 \text{ Volt}$$

$$A = 2.25 \text{ cm}^2$$

$$I_{maks} = 0.008 \text{ mA}$$

$$P_{In} = 14.20747 \text{ mW/cm}^2$$

$$J_{max} = 0.003556 \text{ mA/cm}^2$$

$$V_{oc} = 0.259 \text{ Volt}$$

$$I_{sc} = 0.016 \text{ mA}$$

$$J_{sc} = 0.007111 \text{ mA/cm}^2$$

Penyelesaian:

$$J_{\text{maks}} = \frac{I_{\text{maks}}}{A} = \frac{0.008 \text{ mA}}{2.25 \text{ cm}^2} = 0.003556 \text{ mA/cm}^2$$

$$J_{\text{sc}} = \frac{I_{\text{sc}}}{A} = \frac{0.016 \text{ mA}}{2.25 \text{ cm}^2} = 0.007111 \text{ mA/cm}^2$$

$$\text{FF} = \frac{J_{\text{maks}} V_{\text{maks}}}{J_{\text{sc}} V_{\text{oc}}} = \frac{0.003556 \text{ mA/cm}^2 \times 0.159 \text{ Volt}}{0.007111 \text{ mA/cm}^2 \times 0.259 \text{ Volt}} = 0.30695$$

$$P_{\text{out}} = J_{\text{sc}} V_{\text{oc}} \text{FF} = 0.007111 \text{ mA/cm}^2 \times 0.259 \text{ Volt} \times 0.30695 = 0.000565 \text{ mW/cm}^2$$

$$\eta = \frac{P_{\text{out}}}{P_{\text{in}}} \times 100\% = \frac{0.000565 \text{ mW/cm}^2}{14.20747} \times 100\% = 0.003979 \%$$

b. Perhitungan Efisiensi Pada Ketebalan 0.15 mm.

Diketahui:

$$V_{\text{maks}} = 0.143 \text{ Volt}$$

$$A = 2.25 \text{ cm}^2$$

$$I_{\text{maks}} = 0.039 \text{ mA}$$

$$P_{\text{in}} = 14.20747 \text{ mW/cm}^2$$

$$J_{\text{max}} = 0.017333 \text{ mA/cm}^2$$

$$V_{\text{oc}} = 0.218 \text{ Volt}$$

$$I_{\text{sc}} = 0.073 \text{ mA}$$

$$J_{\text{sc}} = 0.032444 \text{ mA/cm}^2$$

Penyelesaian:

$$J_{\text{maks}} = \frac{I_{\text{maks}}}{A} = \frac{0.039 \text{ mA}}{2.25 \text{ cm}^2} = 0.017333 \text{ mA/cm}^2$$

$$J_{\text{sc}} = \frac{I_{\text{sc}}}{A} = \frac{0.073 \text{ mA}}{2.25 \text{ cm}^2} = 0.032444 \text{ mA/cm}^2$$

$$\text{FF} = \frac{J_{\text{maks}} V_{\text{maks}}}{J_{\text{sc}} V_{\text{oc}}} = \frac{0.017333 \text{ mA/cm}^2 \times 0.143 \text{ Volt}}{0.032444 \text{ mA/cm}^2 \times 0.218 \text{ Volt}} = 0.000365$$

$$P_{\text{out}} = J_{\text{sc}} V_{\text{oc}} \text{FF} = 0.032444 \text{ mA/cm}^2 \times 0.218 \text{ Volt} \times 0.000365 = 0.000565 \text{ mW/cm}^2$$

$$\eta = \frac{P_{\text{out}}}{P_{\text{in}}} \times 100\% = \frac{0.000565 \text{ mW/cm}^2}{14.20747} \times 100\% = 0.017446 \%$$

c. Perhitungan Efisiensi Pada Ketebalan 0.2 mm.

Diketahui:

$$V_{\text{maks}} = 0.06 \text{ Volt}$$

$$A = 2.25 \text{ cm}^2$$

$$I_{\text{maks}} = 0.008 \text{ mA}$$

$$P_{\text{In}} = 14.20747 \text{ mW/cm}^2$$

$$J_{\text{maks}} = 0.003556 \text{ mA/cm}^2$$

$$V_{\text{oc}} = 0.115 \text{ Volt}$$

$$I_{\text{sc}} = 0.0015 \text{ mA}$$

$$J_{\text{sc}} = 0.000667 \text{ mA/cm}^2$$

Penyelesaian:

$$J_{\text{maks}} = \frac{I_{\text{maks}}}{A} = \frac{0.008 \text{ mA}}{2.25 \text{ cm}^2} = 0.003556 \text{ mA/cm}^2$$

$$J_{\text{sc}} = \frac{I_{\text{sc}}}{A} = \frac{0.0015 \text{ mA}}{2.25 \text{ cm}^2} = 0.000667 \text{ mA/cm}^2$$

$$FF = \frac{J_{\text{maks}} V_{\text{maks}}}{J_{\text{sc}} V_{\text{oc}}} = \frac{0.003556 \text{ mA/cm}^2 \times 0.06 \text{ Volt}}{0.000667 \text{ mA/cm}^2 \times 0.115 \text{ Volt}} = 0.002783$$

$$P_{\text{Out}} = J_{\text{sc}} V_{\text{oc}} FF = 0.000667 \text{ mA/cm}^2 \times 0.115 \text{ Volt} \times 0.002783 = 0.000213 \text{ mW/cm}^2$$

$$\eta = \frac{P_{\text{Out}}}{P_{\text{in}}} \times 100\% = \frac{0.000213 \text{ mW/cm}^2}{14.20747} \times 100\% = 0.001502 \%$$

## 4. Hasil Uji SEM

